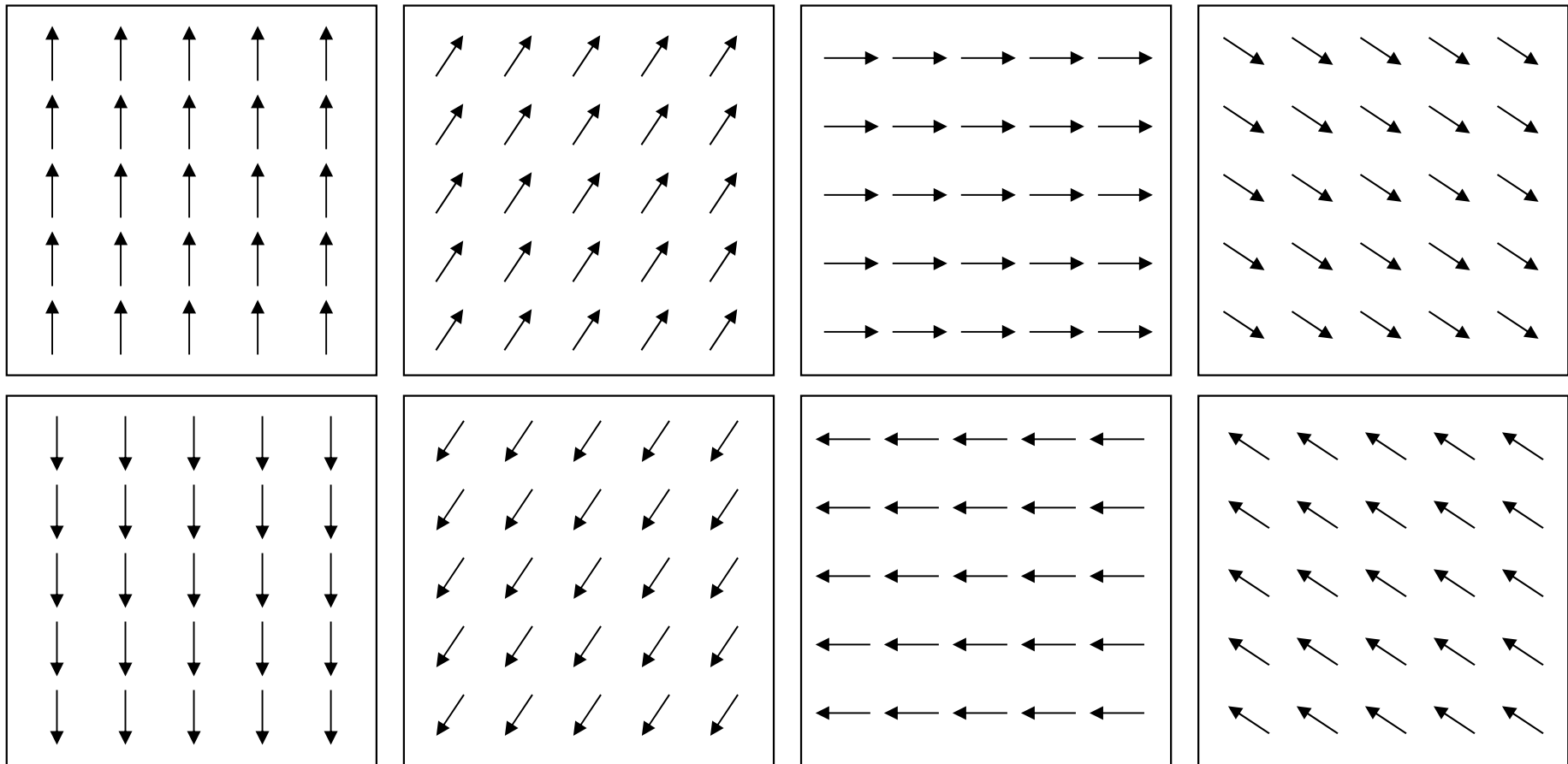


Anisotropía magnetocrystalina

Sólo intercambio
(ausencia de anisotropía)

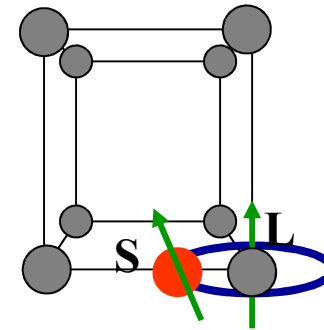
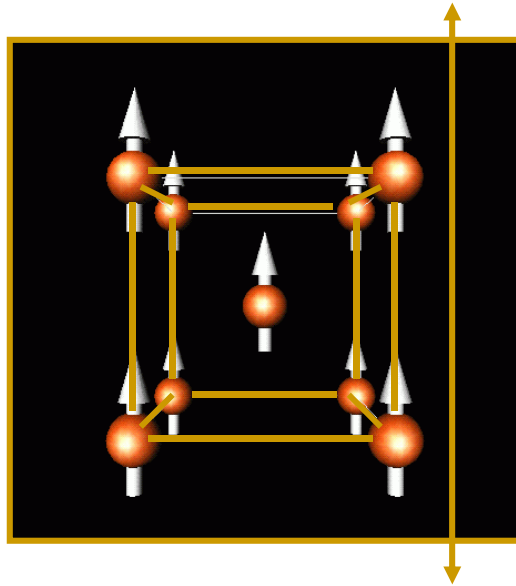
Dirección aleatoria de \mathbf{M} en $4\pi \Rightarrow$ estado continuamente degenerado



Siempre estaríamos en presencia de un superparamagneto

Anisotropía

Fe



Estructura cristalina



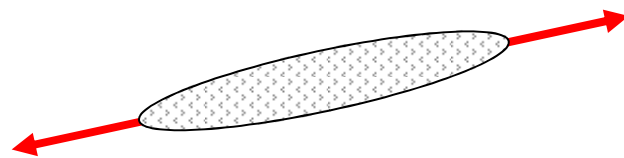
Int. elect - Campo cristalino

+

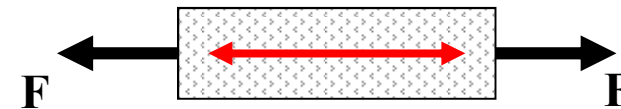
interacción Spin - órbita

=

Anisotropía magneto-cristalina

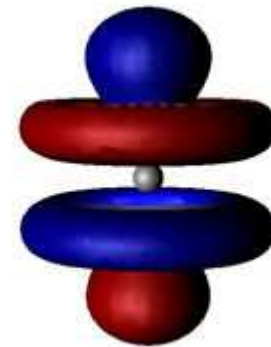
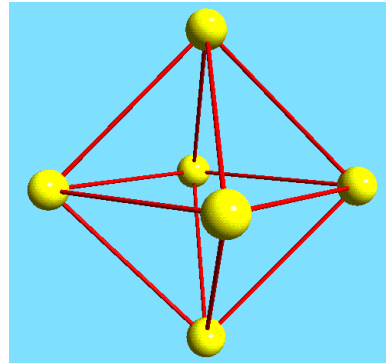
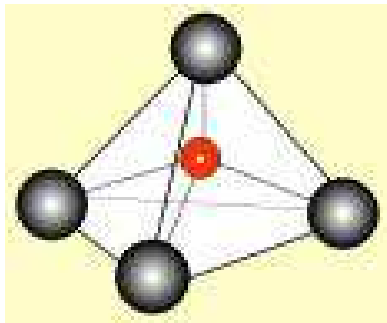
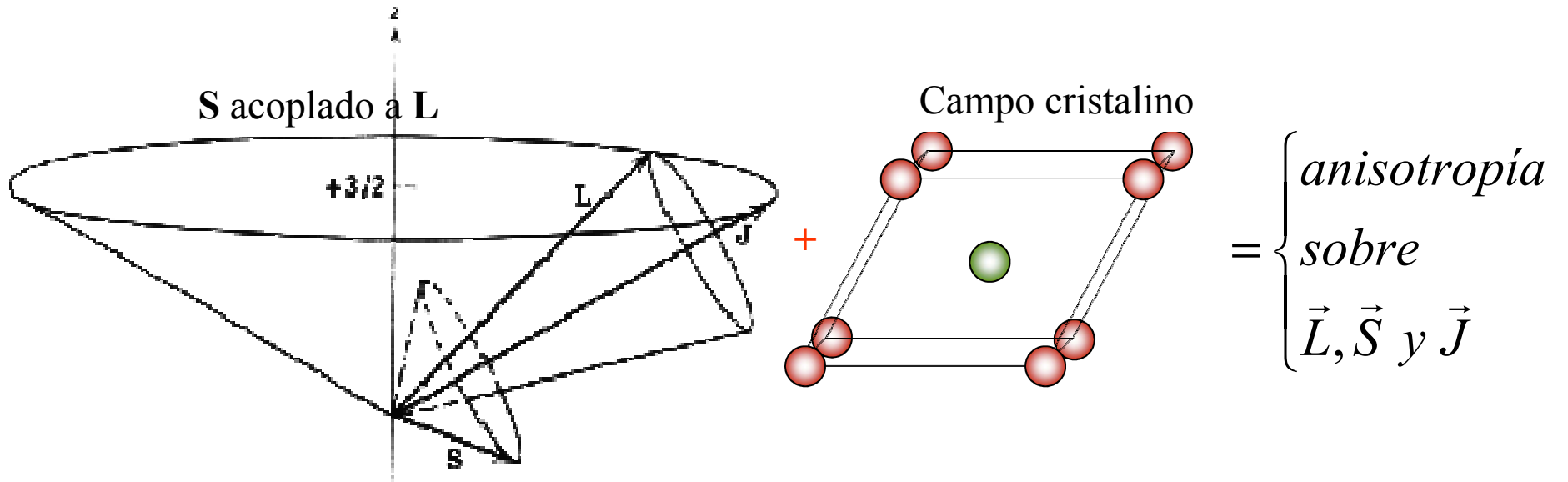


Forma: anisotropía magnetostática

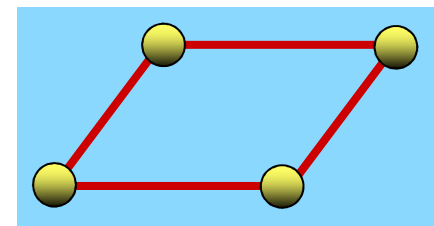
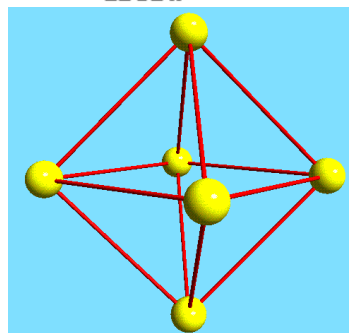
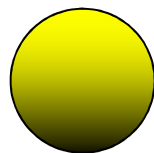
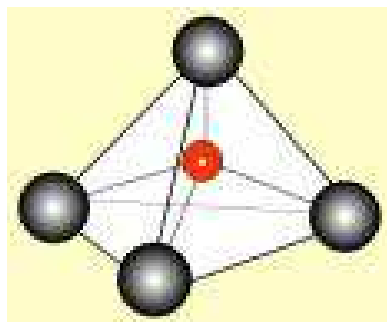
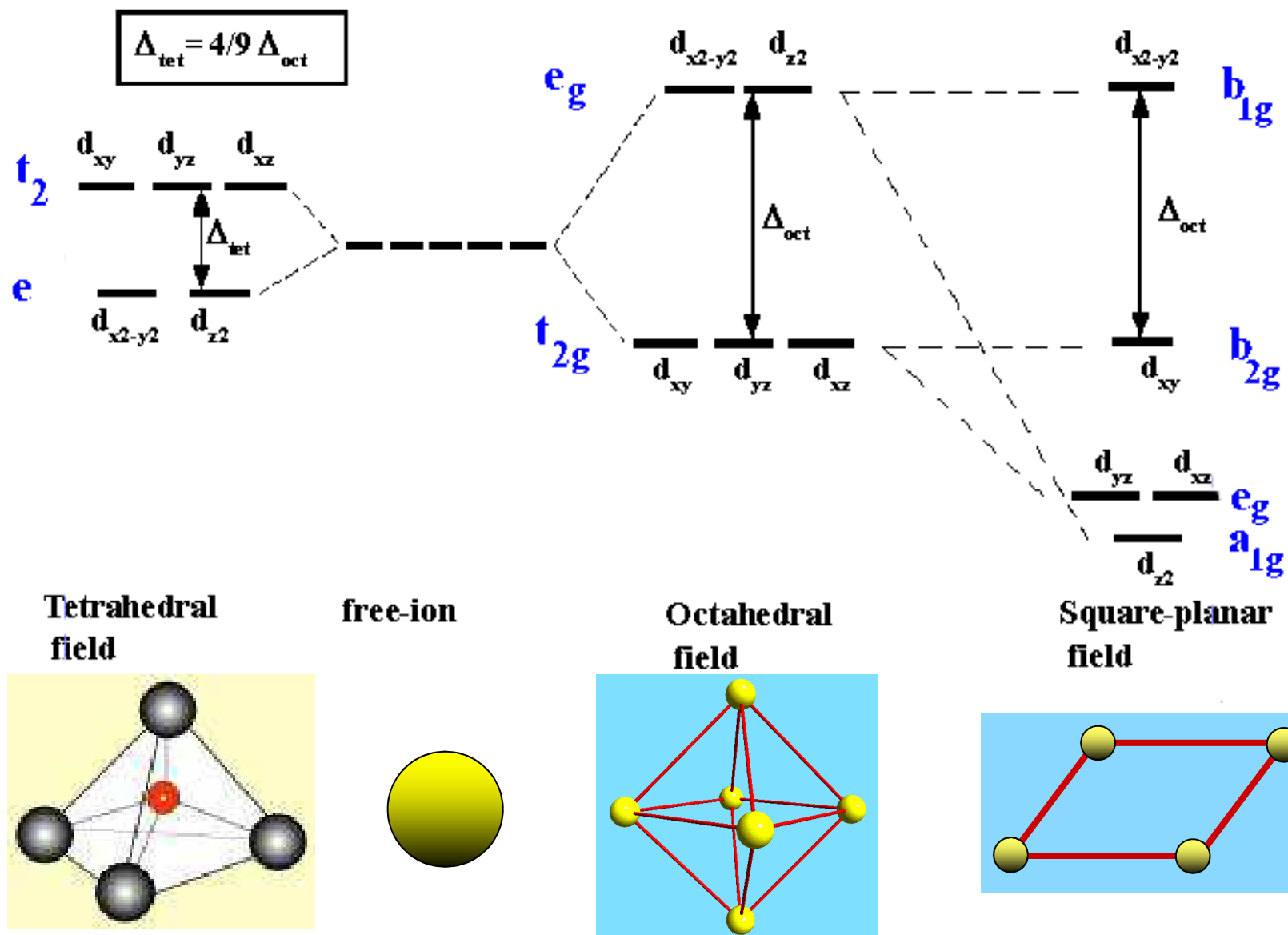


Esfuerzo: anisotropía magnetoelástica

spin – órbita + campo cristalino

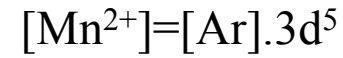
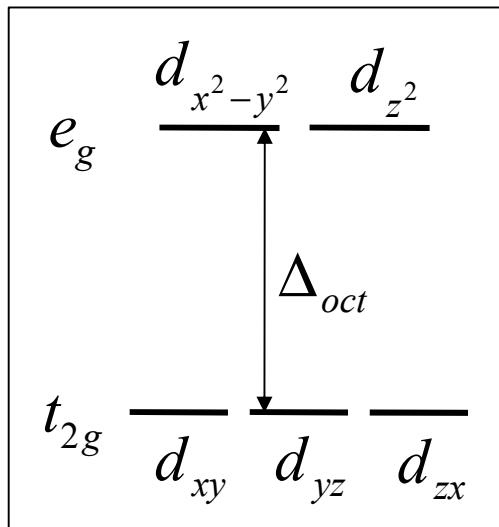


Diagramas de desdoblamiento de orbitales d por el campo cristalino

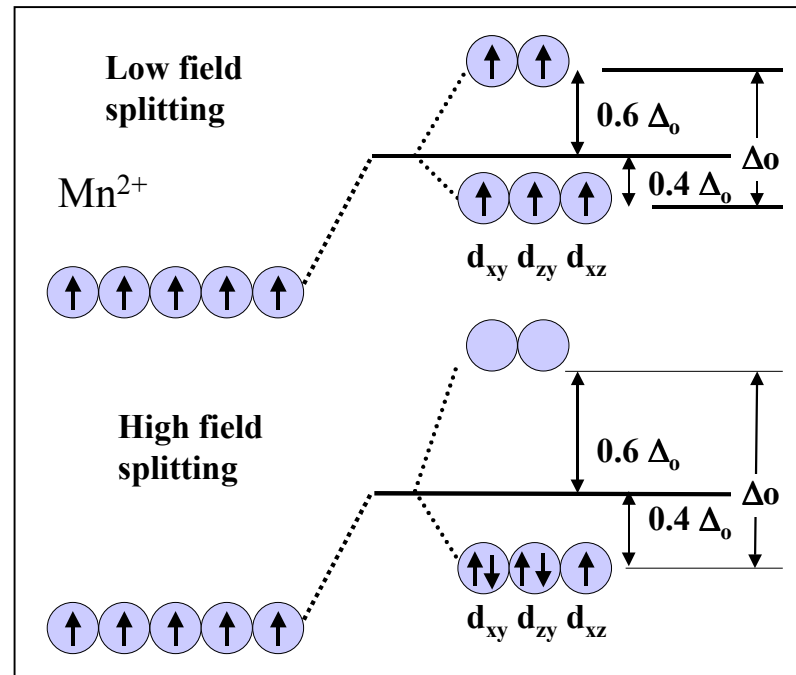


spin – órbita + campo
cristalino

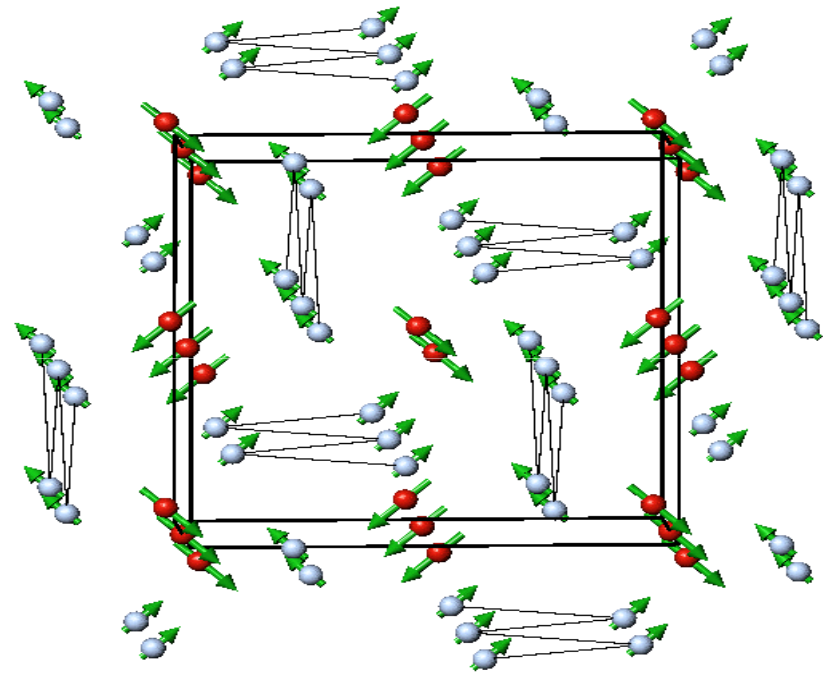
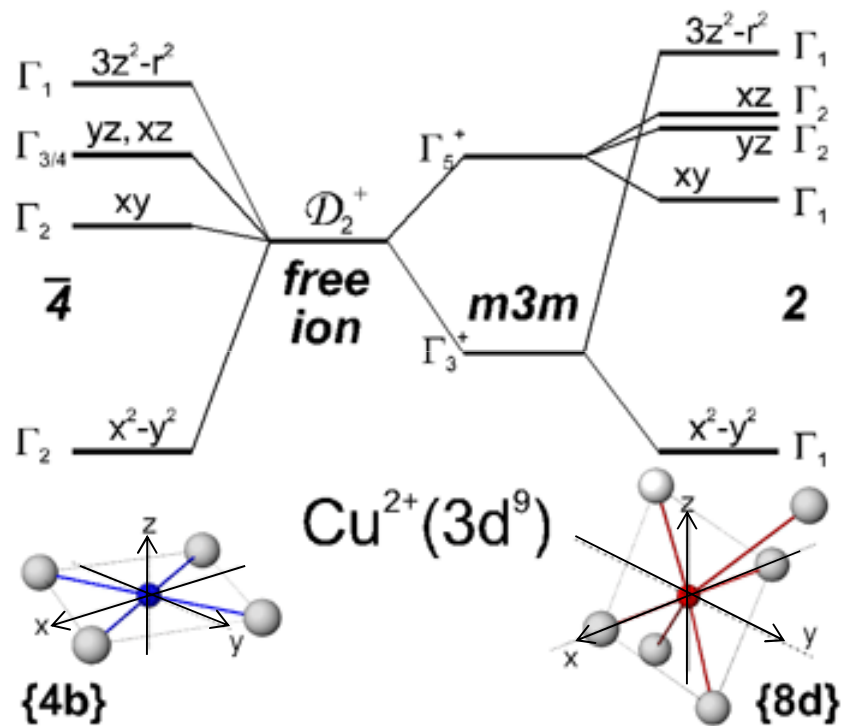
Ejemplo 1



Desdoblamiento bajo campos
cristalinos altos y bajos



Ejemplo Ordenamiento Magnético del CuB_2O_4



Estados electrónicos, simetría local y coordinación de iones Cu^{2+} en sitios 4b y 8d de CuB_2O_4 .

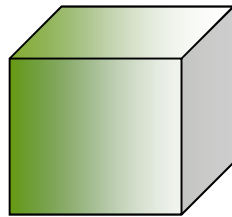
Manfred Fiebig, September 2004 mbi-berlin.de

B.Roessli, J.Schefer, G.Petrakovskii, B.Ouladdiaf, M.Böhm, U.Staub, A. Vorotinov and L.Bezmaternikh. Phys. Rev. Letter, (2001).

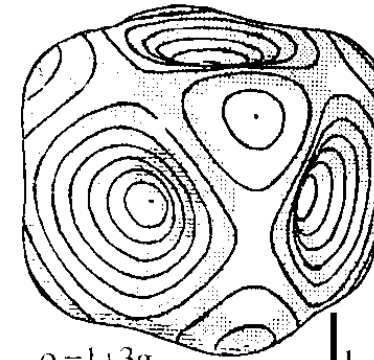
Energía de anisotropía Magnetocristalina

Definiciones

Geometría cúbica



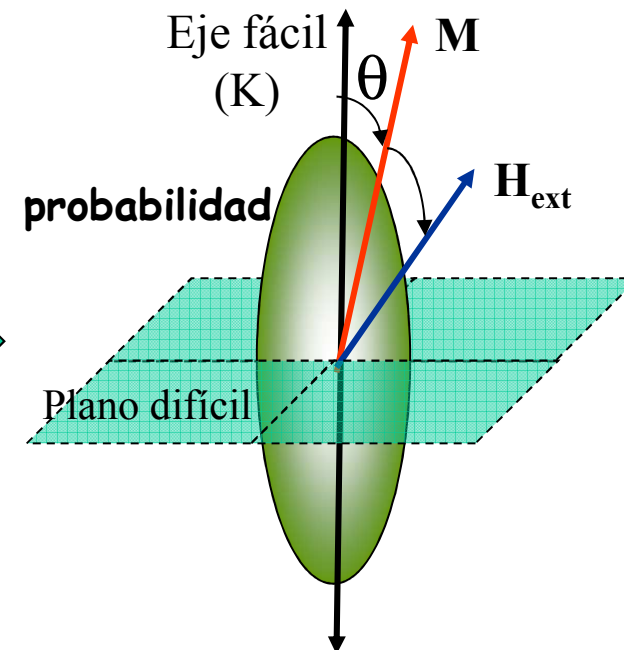
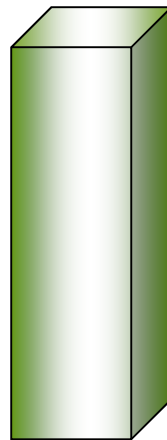
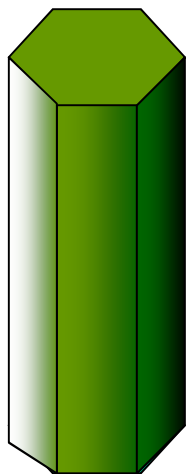
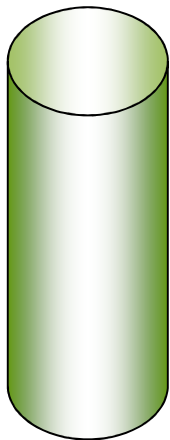
a) $K_{c1} = 1$



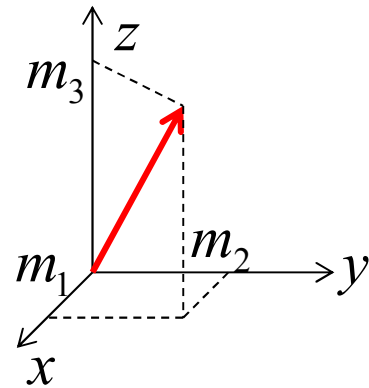
Curvas de energía constante

$\rho = 1 + 3g$
in the range
[0 (0.04) 0.333]

Geometría cilíndrica, tetragonal, exagonal



Anisotropía – descripción fenomenológica



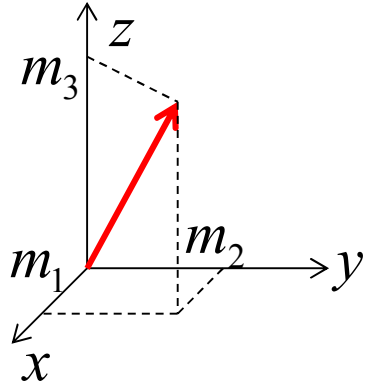
m_i cosenos
directores de la
magnetización

$$m_{1,2,3} = \frac{M_{x,y,z}}{M} \dots$$

e_K energía de anisotropía
por unidad de volumen

$$e_K = \sum_i K_i m_i^2 + \sum_{ij} K_{ij} m_i^2 m_j^2 + K_{123} m_1^2 m_2^2 m_3^2 + \sum_i K_i m_i^4 + \dots$$

E_K energía de anisotropía $E_K = \int e_K dV$



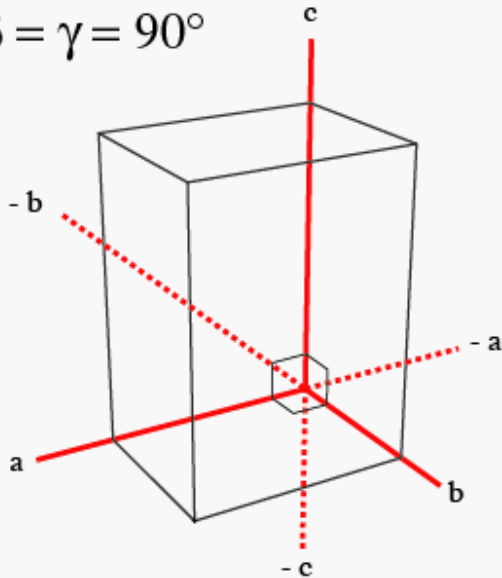
$$e_K = \sum_i K_i m_i^2 + \sum_{ij} K_{ij} m_i^2 m_j^2 + K_{123} m_1^2 m_2^2 m_3^2 + \sum_i K_i m_i^4 + \dots$$

Ejemplo: sistema ortorrómbico

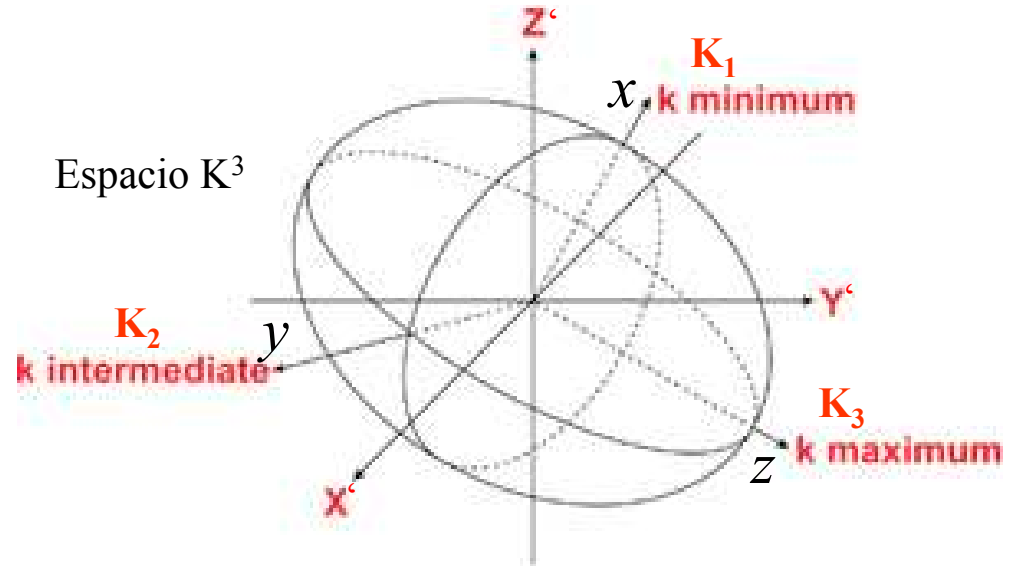
Orthorhombic

$a \neq b \neq c$

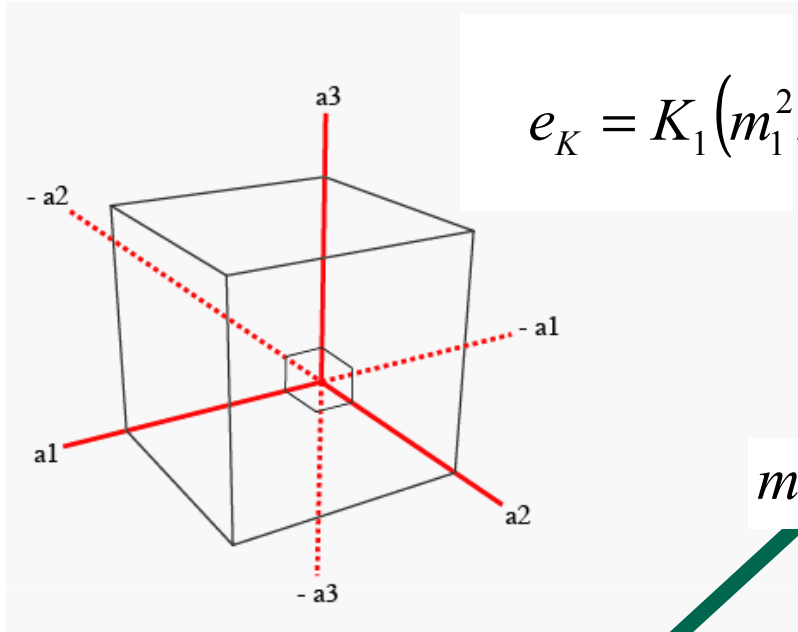
$\alpha = \beta = \gamma = 90^\circ$



$$e_K \approx K_1 m_1^2 + K_2 m_2^2 + K_3 m_3^2$$



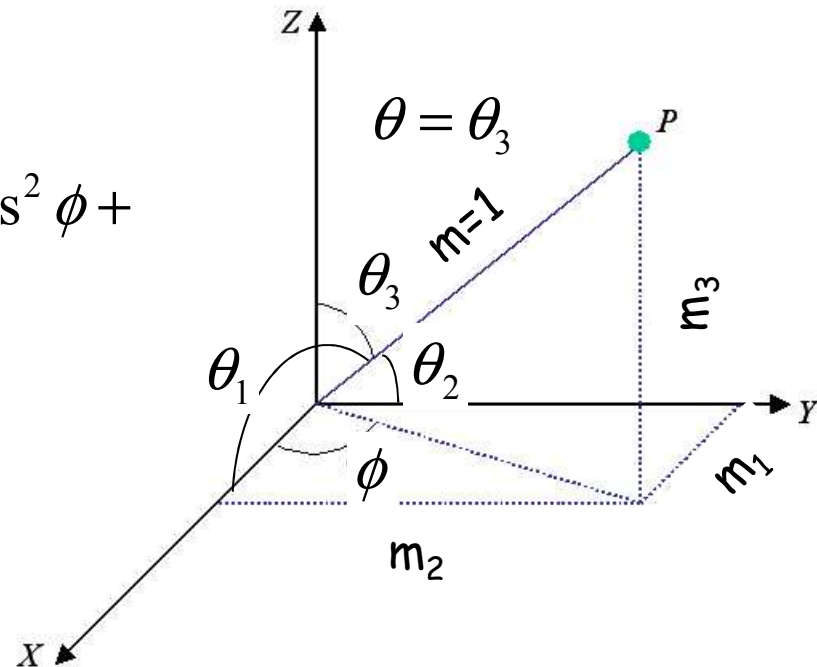
sistema cúbico



$$e_K = K_1 (m_1^2 m_2^2 + m_1^2 m_3^2 + m_2^2 m_3^2) + K_2 m_1^2 m_2^2 m_3^2$$

$$m_i = \cos \theta_i$$

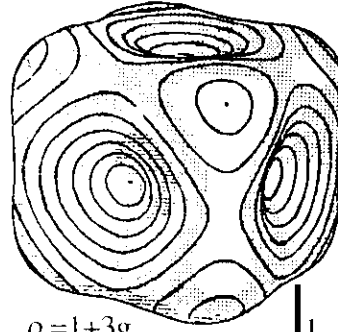
$$e_K = (K_1 + K_2 \cos^2 \theta) \sin^4 \theta \sin^2 \phi \cos^2 \phi + K_1 \sin^2 \theta \cos^2 \theta$$



sistema cúbico
Curvas de energía constante

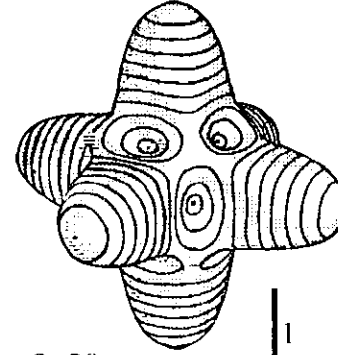
$$e_K = K_1 (m_1^2 m_2^2 + m_1^2 m_3^2 + m_2^2 m_3^2) + K_2 m_1^2 m_2^2 m_3^2$$

a) $K_{c1}=1$



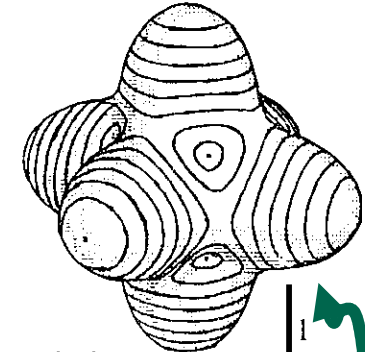
$\rho = 1+3g$
in the range
[0 (0.04) 0.333]

c) $K_{c1}=-0.25, K_{c2}=1$



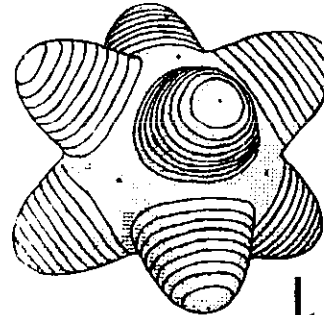
$2+20g$
[-0.063 (0.006) 0]

e) $K_{c1}=-0.1$



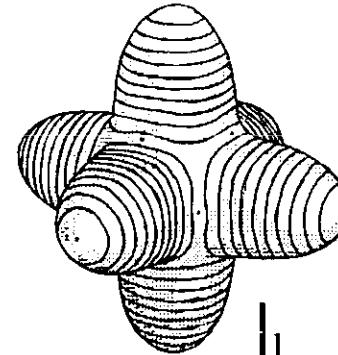
$2+3g$
[-0.333 (0.04) 0]

b) $K_{c1}=0.1, K_{c2}=1$



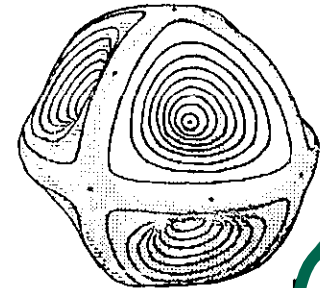
$1+20g$
[0 (0.004) 0.04]

d) $K_{c1}=-0.41, K_{c2}=0.9$



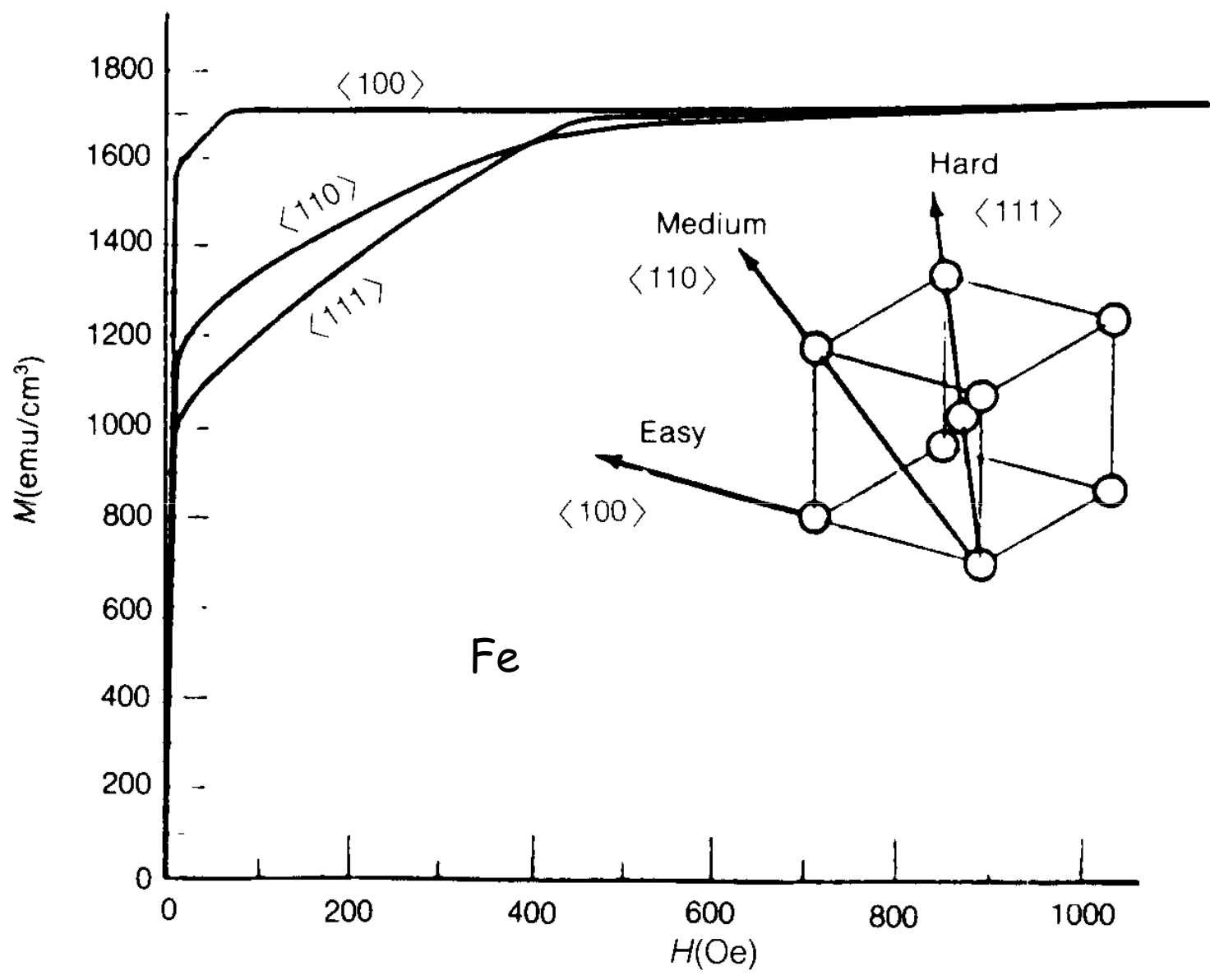
$2+10g$
[-0.103 (0.01) 0]

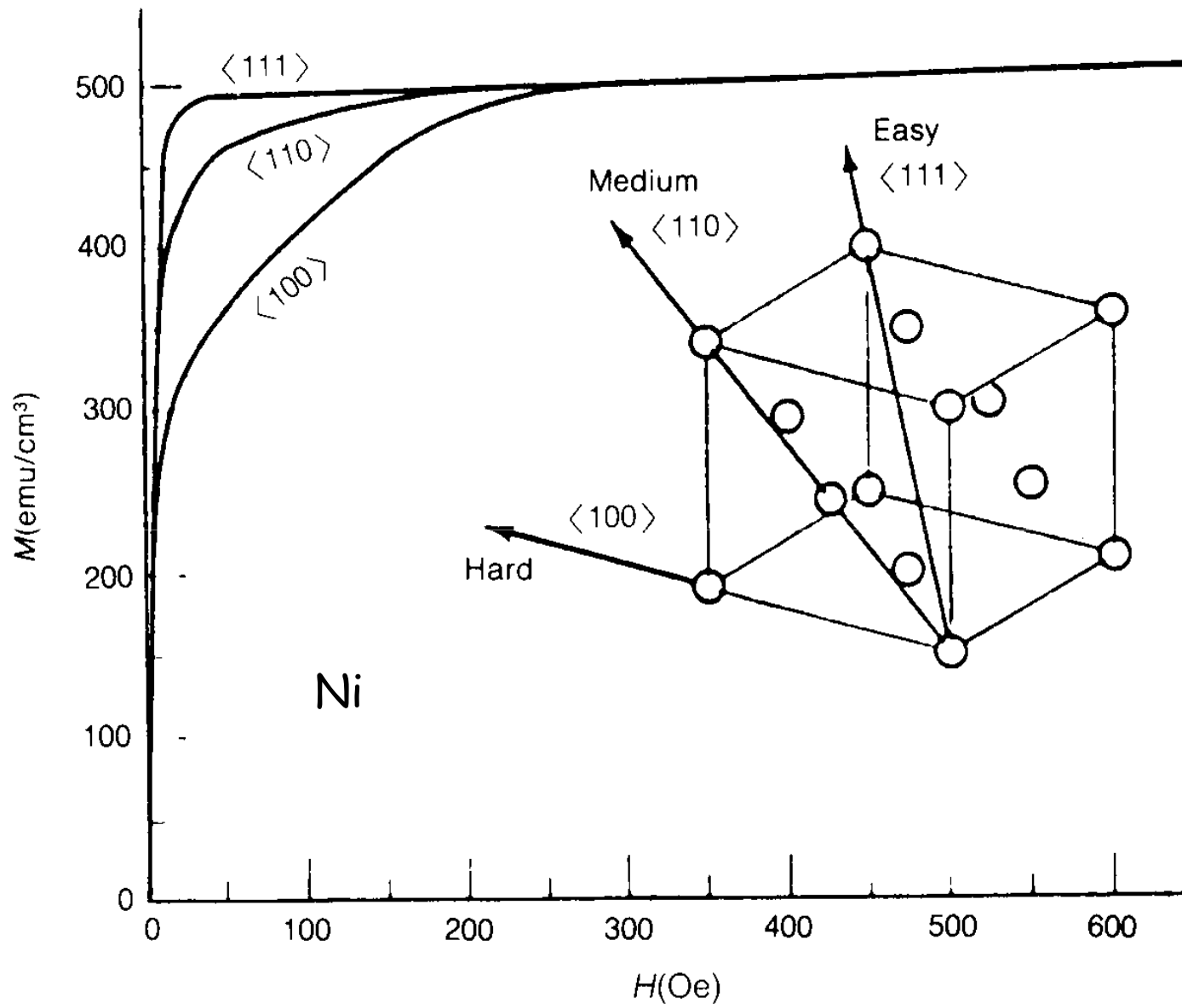
f) $K_{c1}=0.01, K_{c2}=-1$



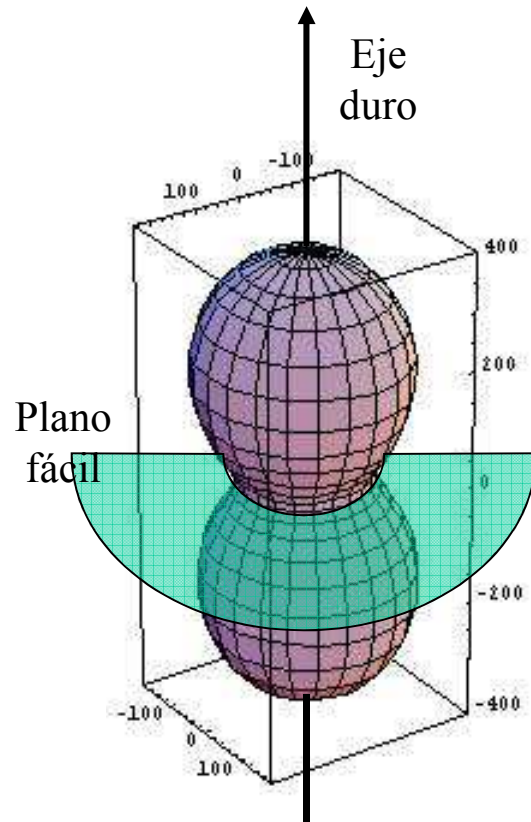
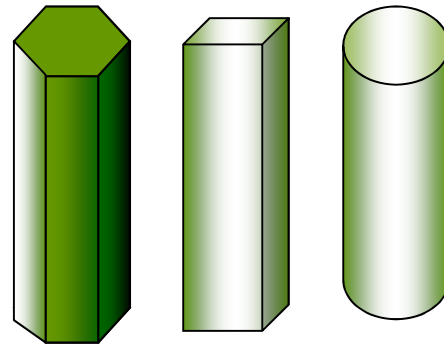
$2+25g$
[-0.334 (0.004) 0.003]

Material	K_1 (10^5 J/m ³)	K_2 (10^5 J/m ³)	Eje fácil
Fe	0.480	0.05	(100)
Ni	-0.045	-0.023	(111)





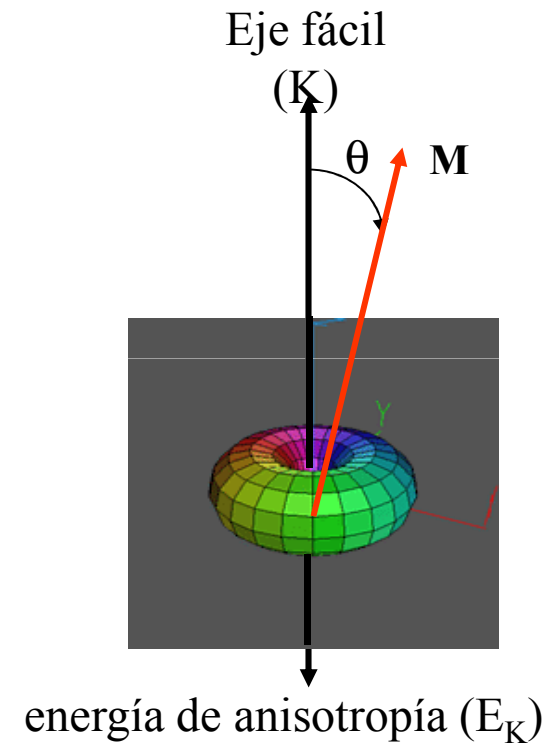
Sistemas hexagonal y tetragonal

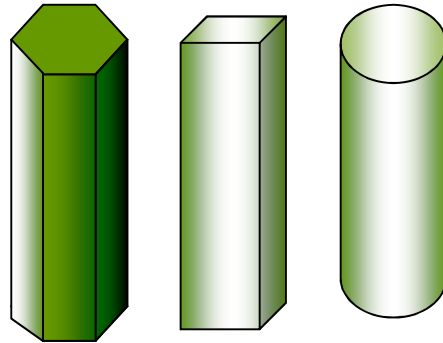


$$e_K = K_1 \cos^2 \theta + K_2 \cos^4 \theta$$



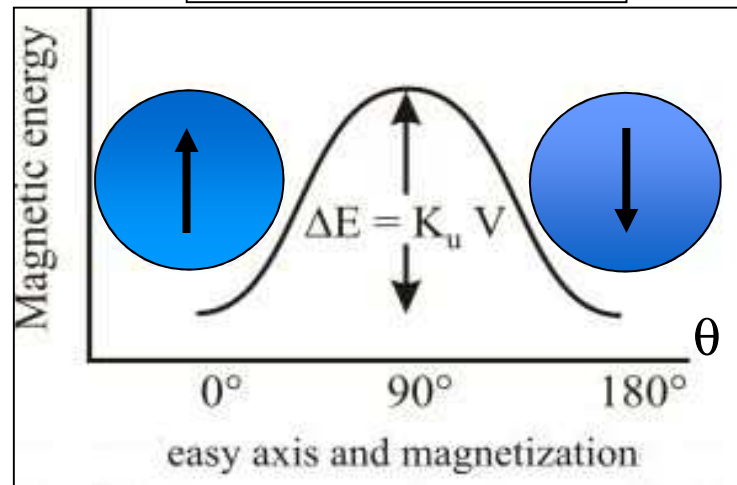
$$e_K = K_1' \sin^2 \theta + K_2' \sin^4 \theta$$





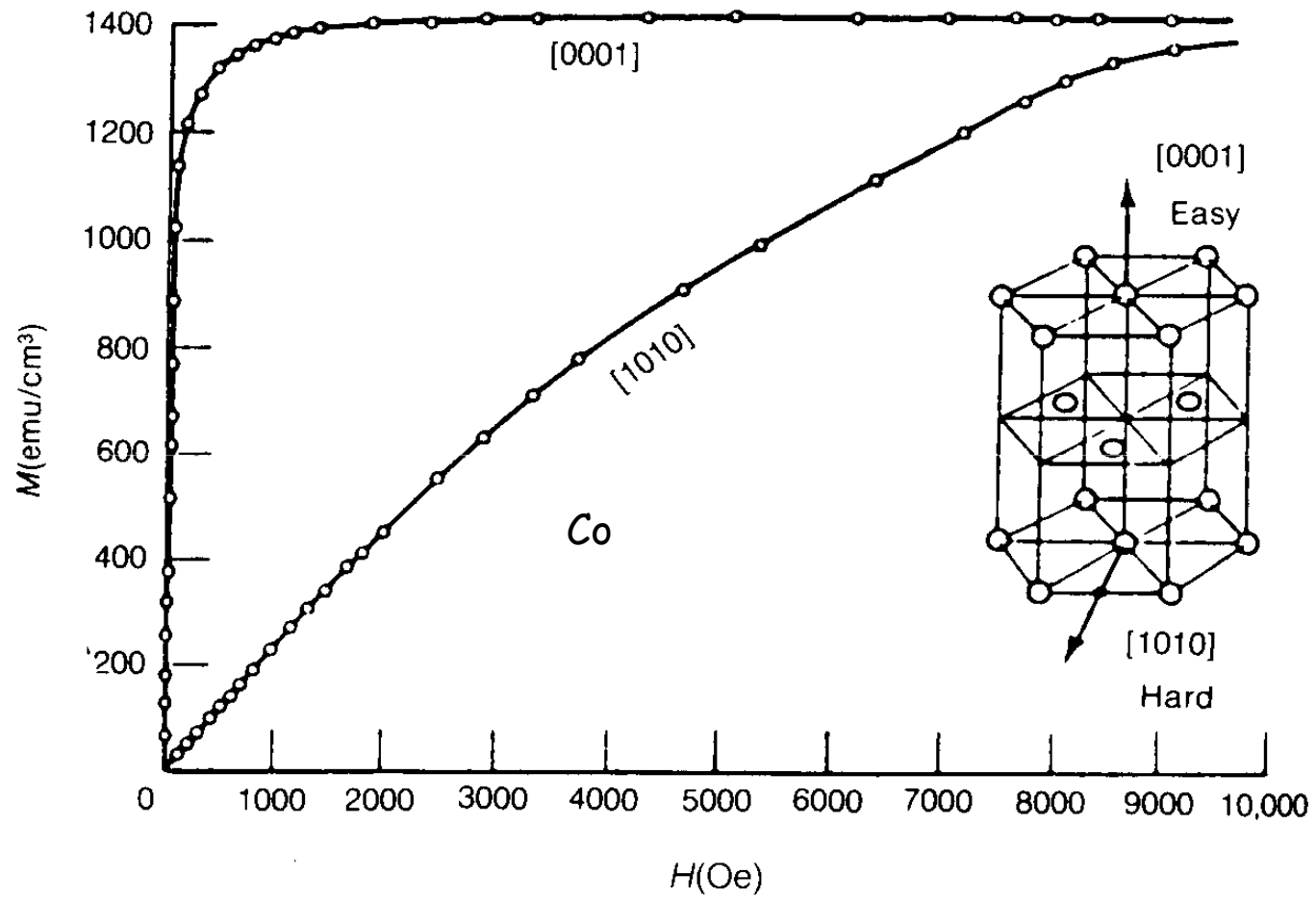
$$e_K = K_1 \sin^2 \theta + K_2 \sin^4 \theta \xrightarrow[\text{caso uniaxial}]{\text{descripción simple}} e_K = K \sin^2 \theta$$

$$E_K = KV \sin^2 \theta$$



$$e_K = K_1 \sin^2 \theta + K_2 \sin^4 \theta$$

Material	K_1 (10^5 J/m ³)	K_2 (10^5 J/m ³)	Eje fácil
Co	4.1	1.0	hexagonal
SmCo ₅	1100	-	hexagonal

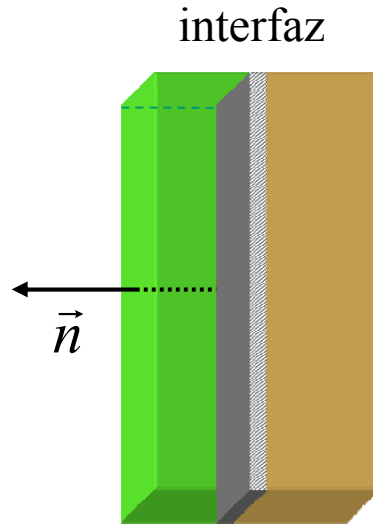


Anisotropía de Interfaz

Anisotropía de Intercambio

superficies e interfaces

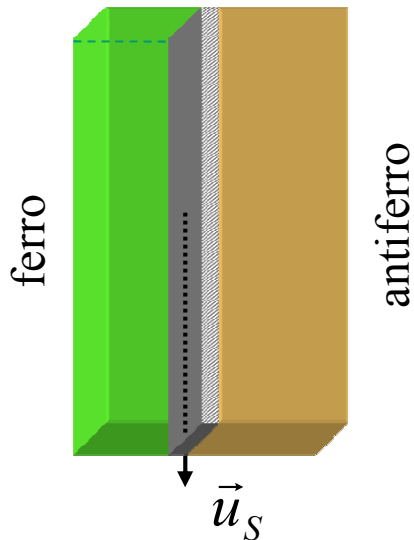
Anisotropía de interfaz



$$e_K = K_S [1 - (\vec{m} \cdot \vec{n})^2]$$

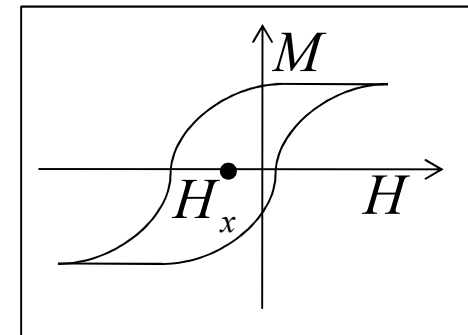
$K_S > 0 \Rightarrow \vec{m} // \text{sup}$
 $K_S < 0 \Rightarrow \vec{m} \perp \text{sup}$

Anisotropía de intercambio*



$$e_K = K_S \vec{m} \cdot \vec{u}_S = \frac{H_x}{2} \vec{m} \cdot \vec{u}_S$$

$$e_K = \frac{H_x}{2} m \cos \varphi$$

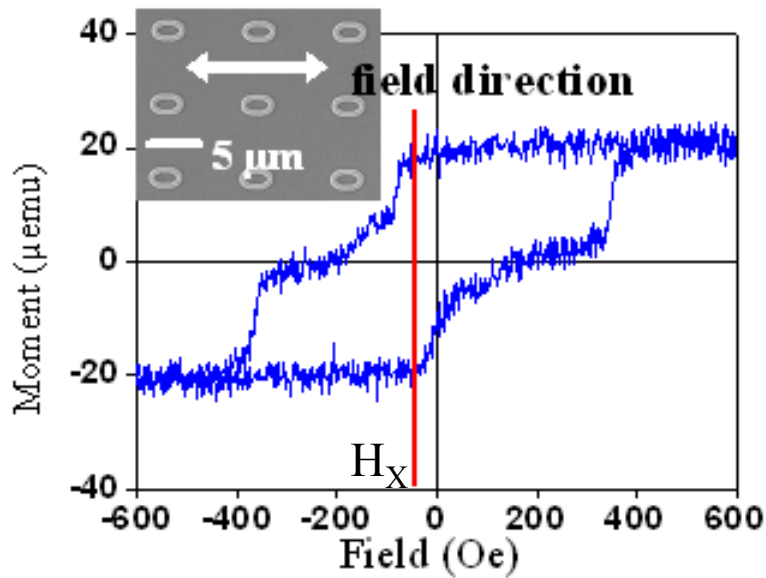
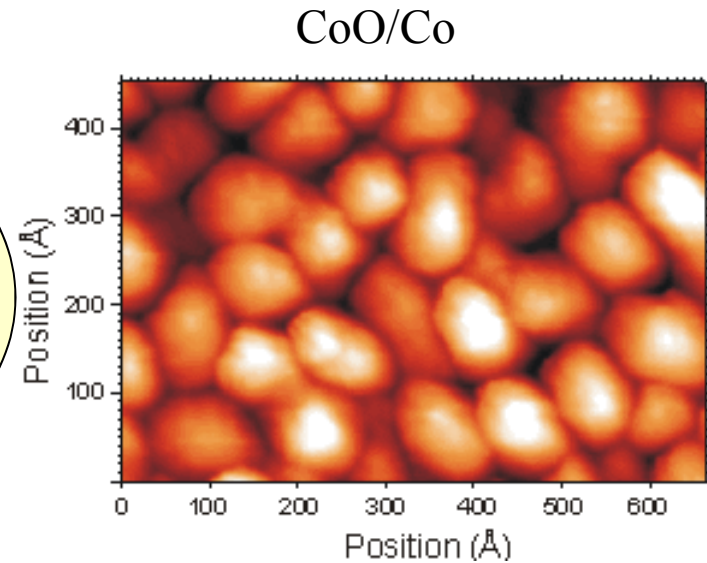
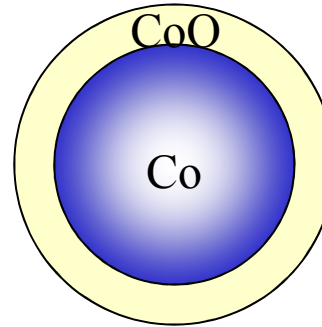


Exchange bias field

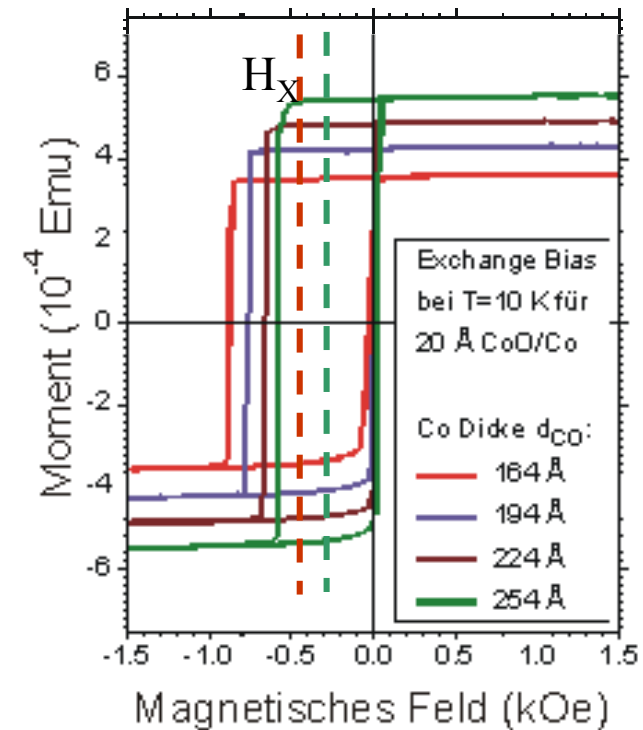
*también llamada unidireccional

Observación del exchange bias

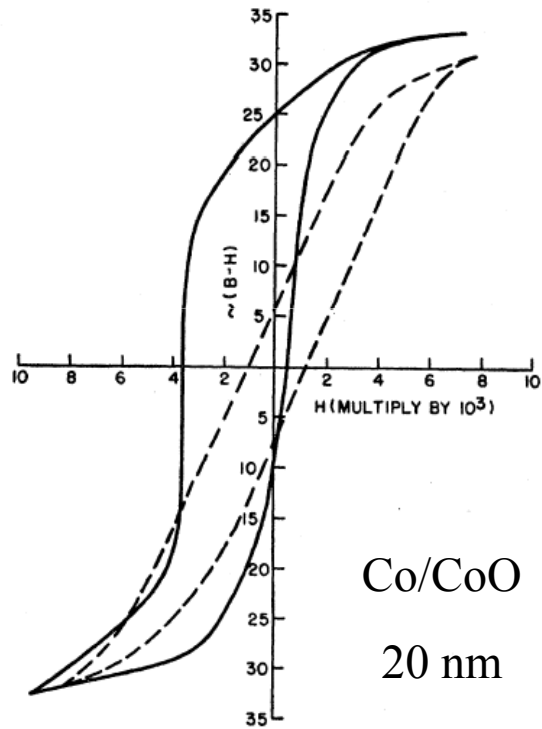
$$e_K = K_S \vec{m} \cdot \vec{u}_S = \frac{H_x}{2} \vec{m} \cdot \vec{u}_S$$



Ta 20nm / NiFe 20nm / FeMn 10 nm film



In the
news... 



Letters to the Editor

New Magnetic Anisotropy

W. H. MEIKLEJOHN AND C. P. BEAN

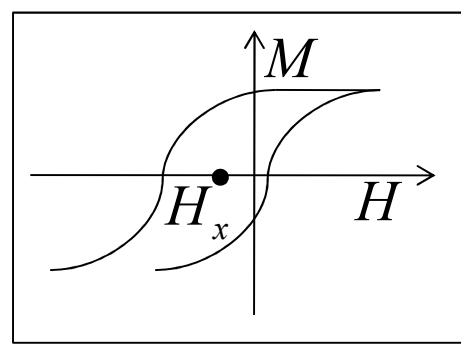
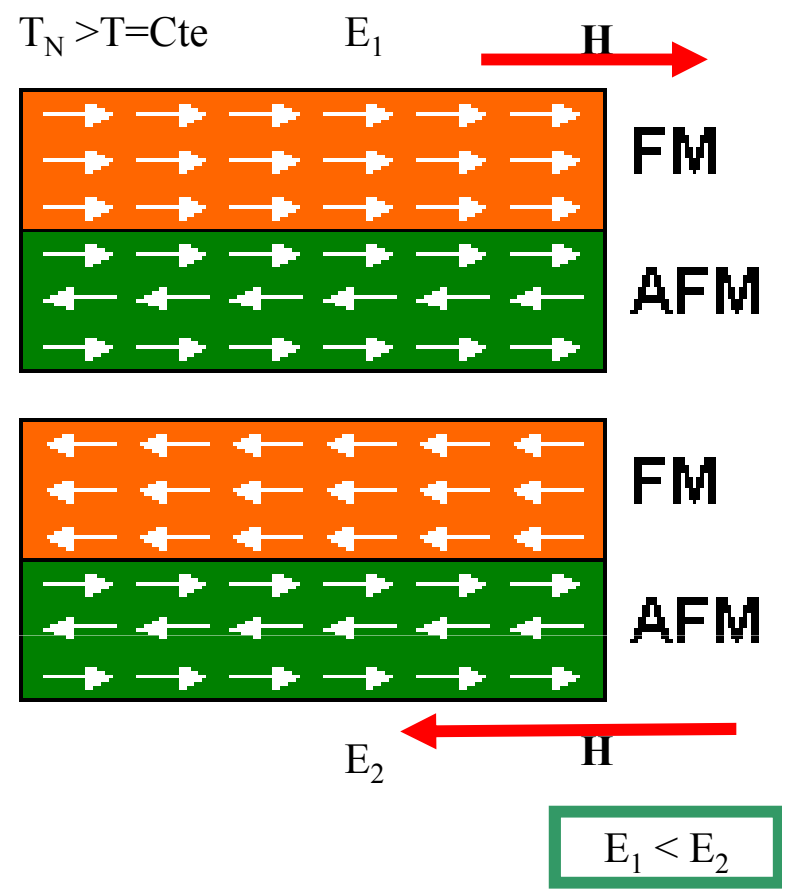
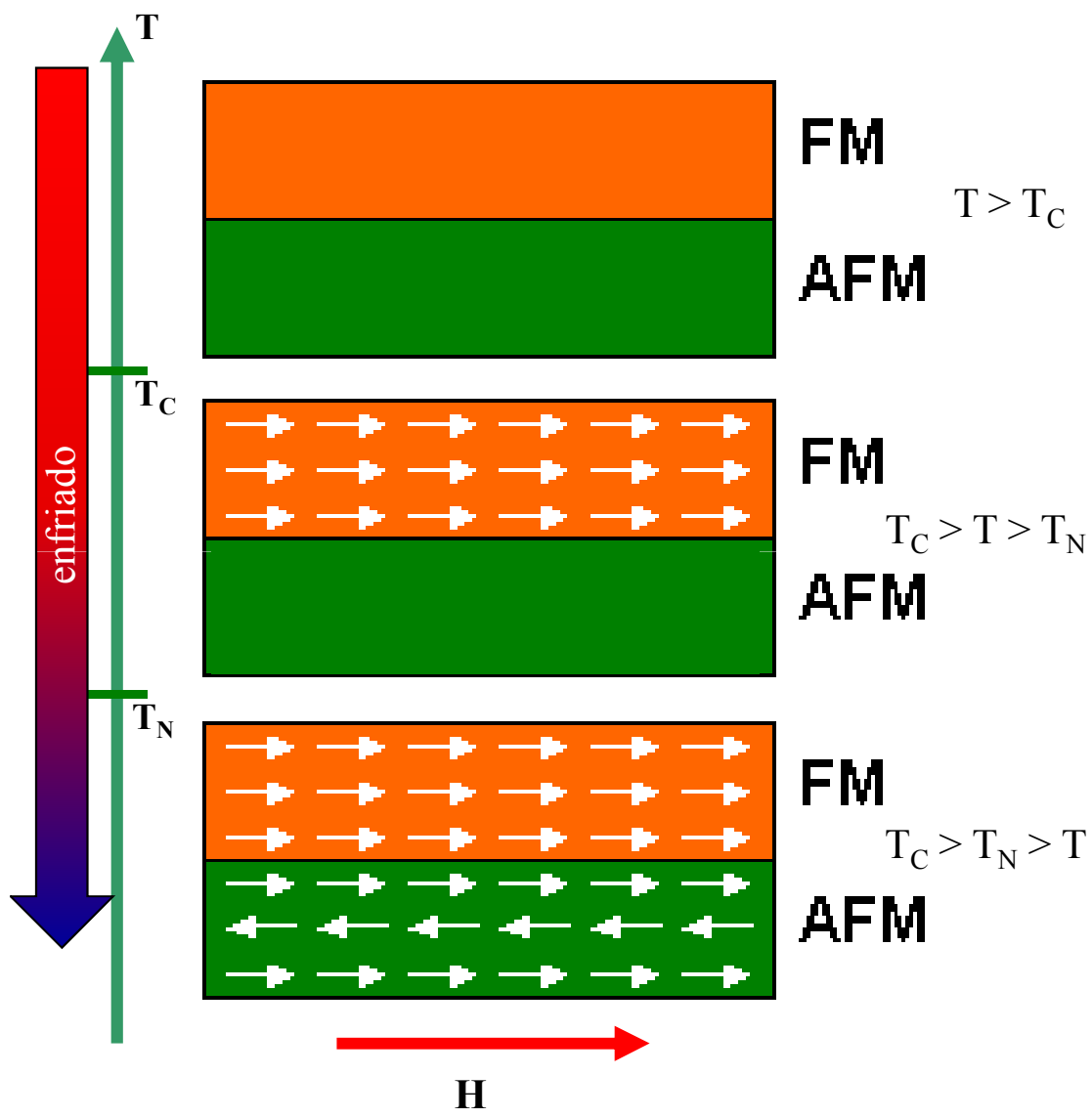
General Electric Research Laboratory, Schenectady, New York

(Received March 7, 1956)

PHYSICAL REVIEW

VOLUME 102, NUMBER 5

JUNE 1, 1956



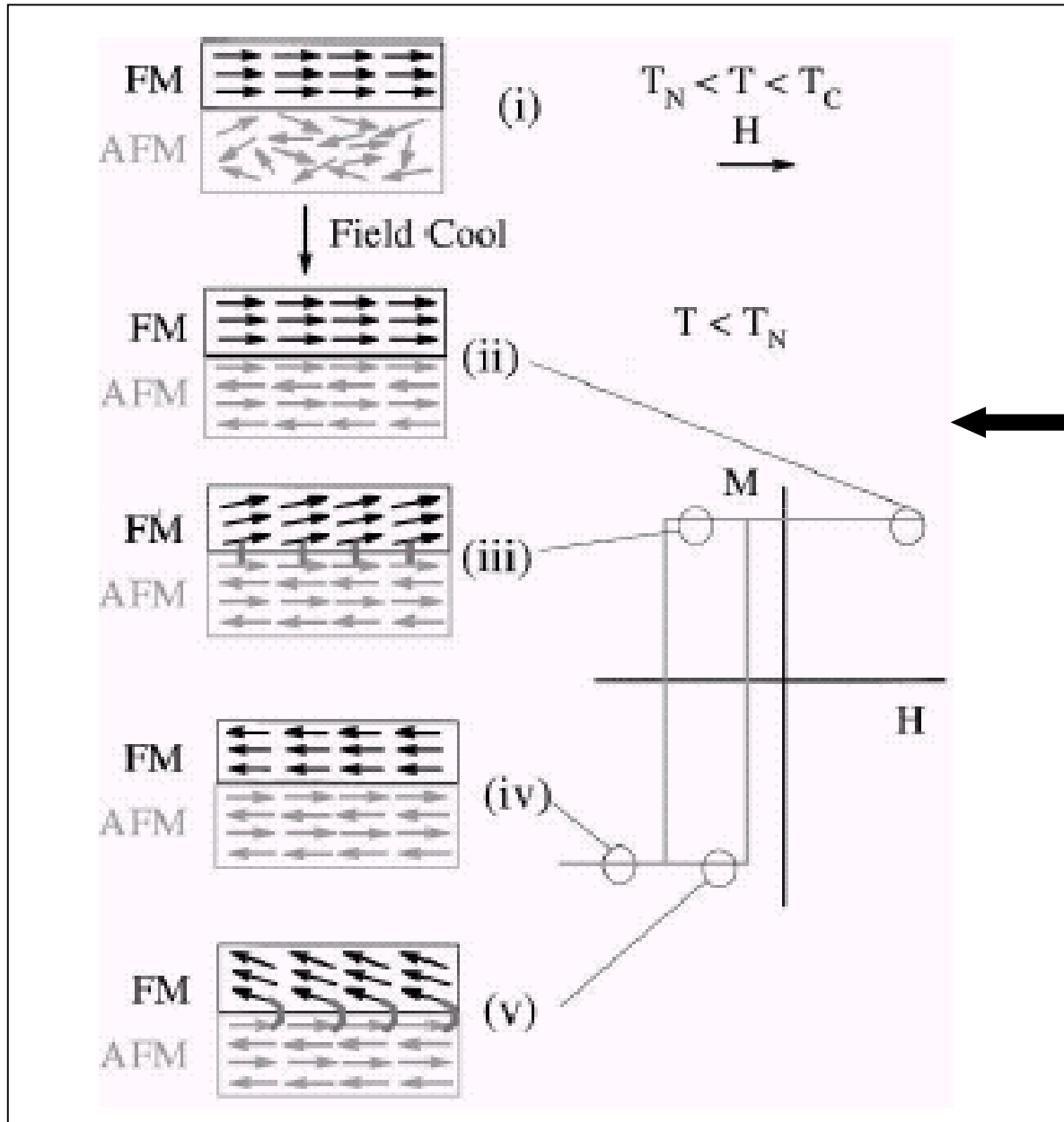
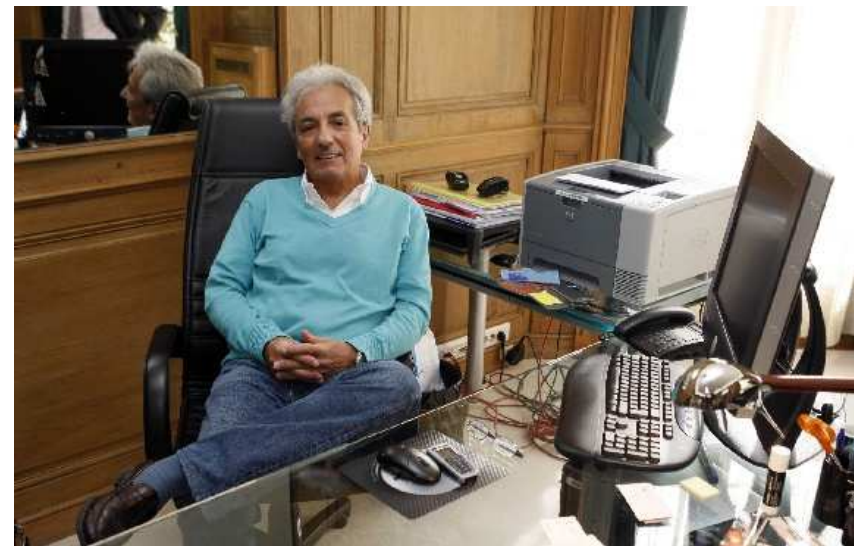
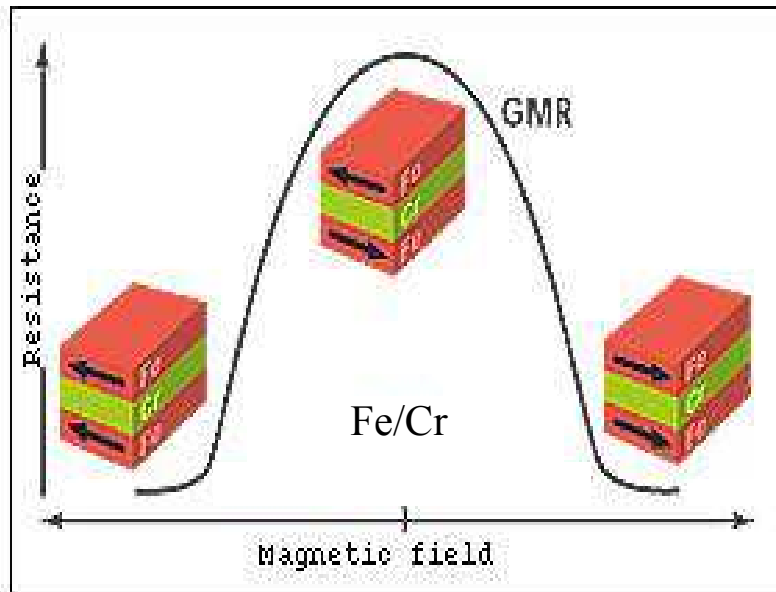


Diagrama esquemático de una configuración de spin FM /AFM.

Anisotropía de intercambio – válvula de spin

Magneto-resistencia gigante



Albert Fert, Nobel Prize in Physics 2007

Giant Magnetoresistance of (001) Fe/(001) Cr Magnetic Superlattices

M. N. Baibich,^(a) J. M. Broto, A. Fert, F. Nguyen Van Dau, and F. Petroff
Laboratoire de Physique des Solides, Université Paris-Sud, F-91405 Orsay, France

P. Eitenne, G. Creuzet, A. Friederich, and J. Chazelas
Laboratoire Central de Recherches, Thomson CSF, B.P. 10, F-91401 Orsay, France
(Received 24 August 1988)

PHYSICAL REVIEW LETTERS

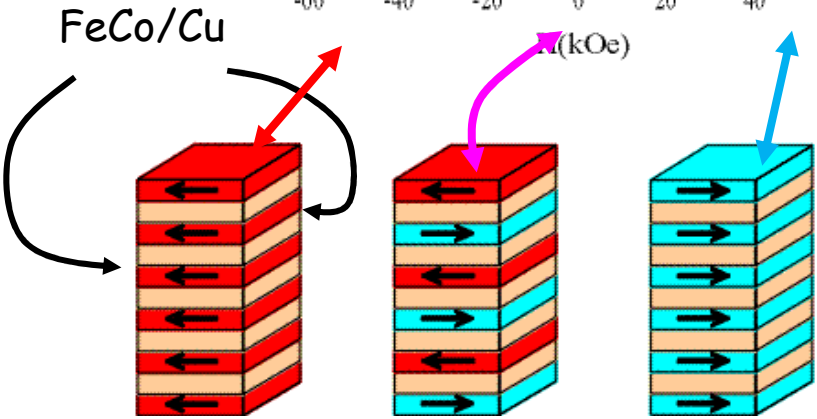
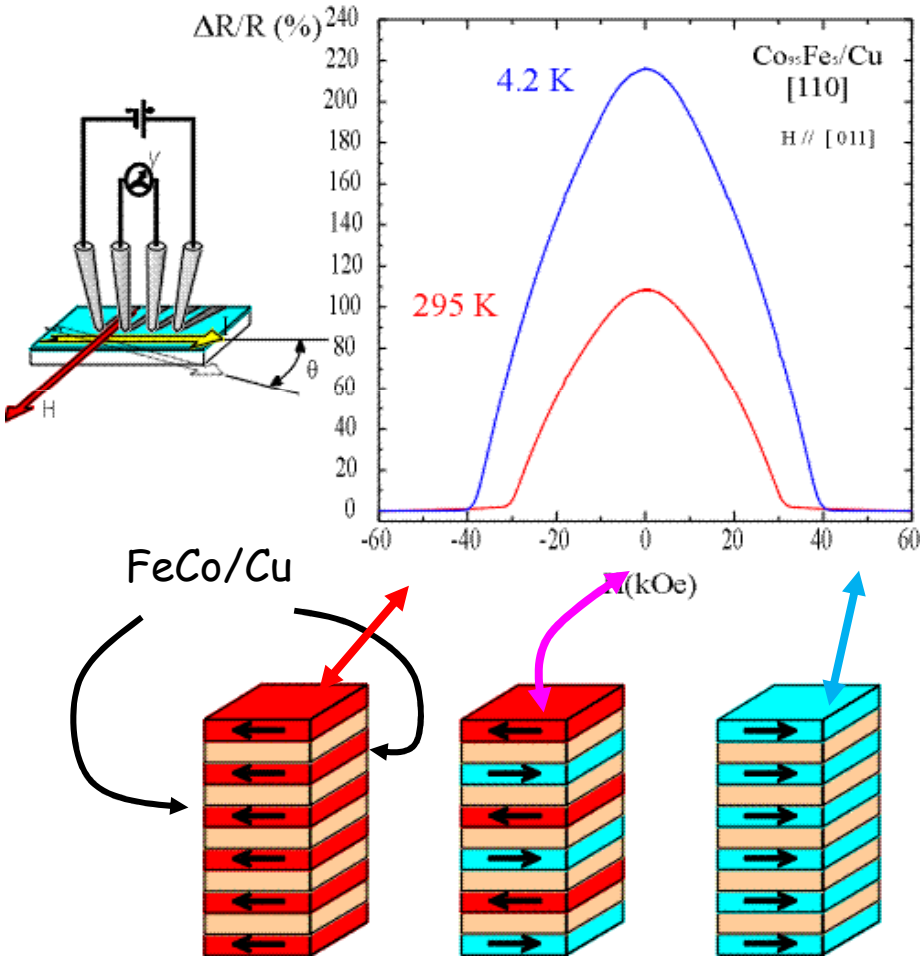
VOLUME 61, NUMBER 21

21 NOVEMBER 1988



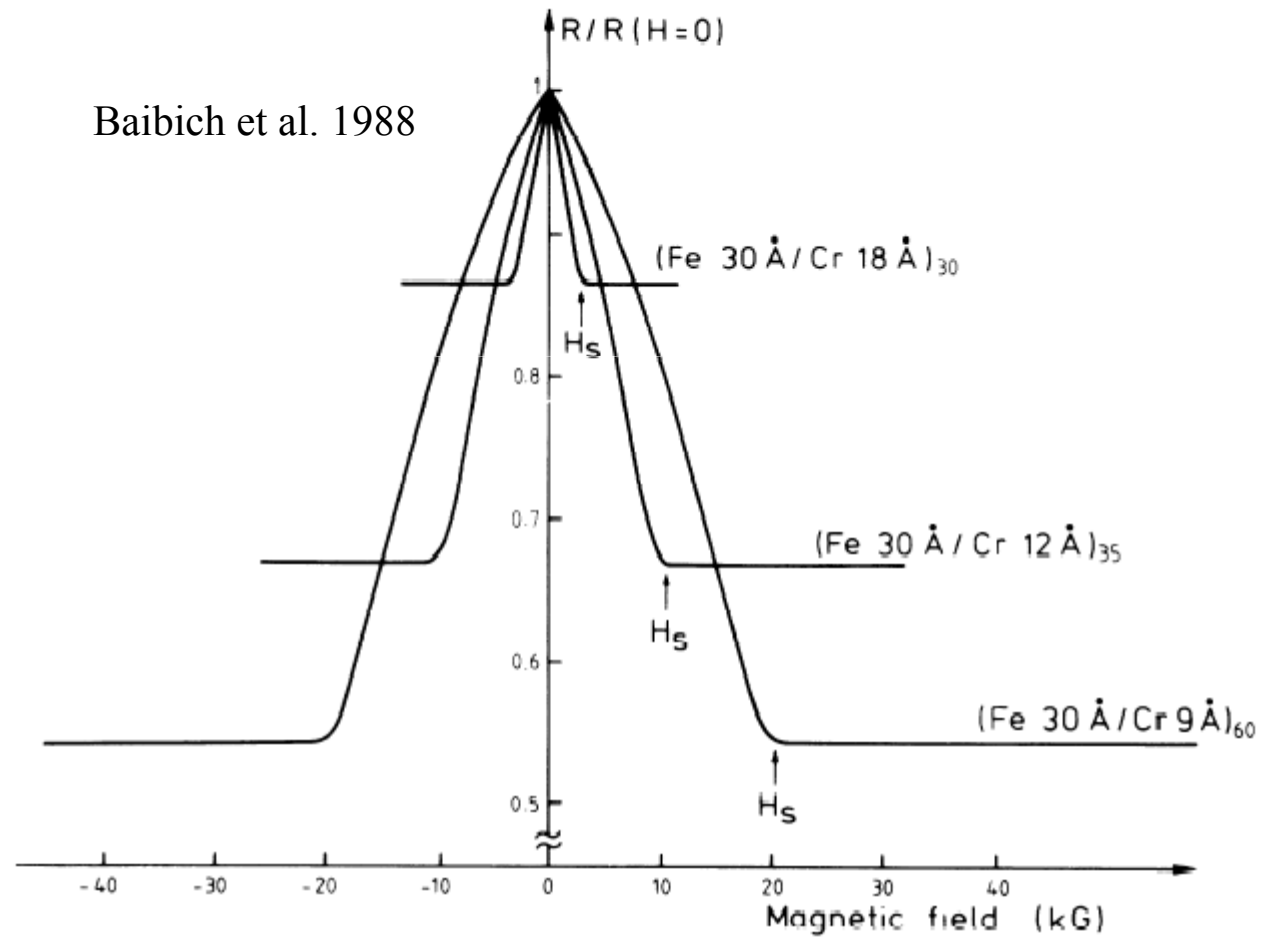
Peter Grünberg, Nobel Prize in Physics 2007

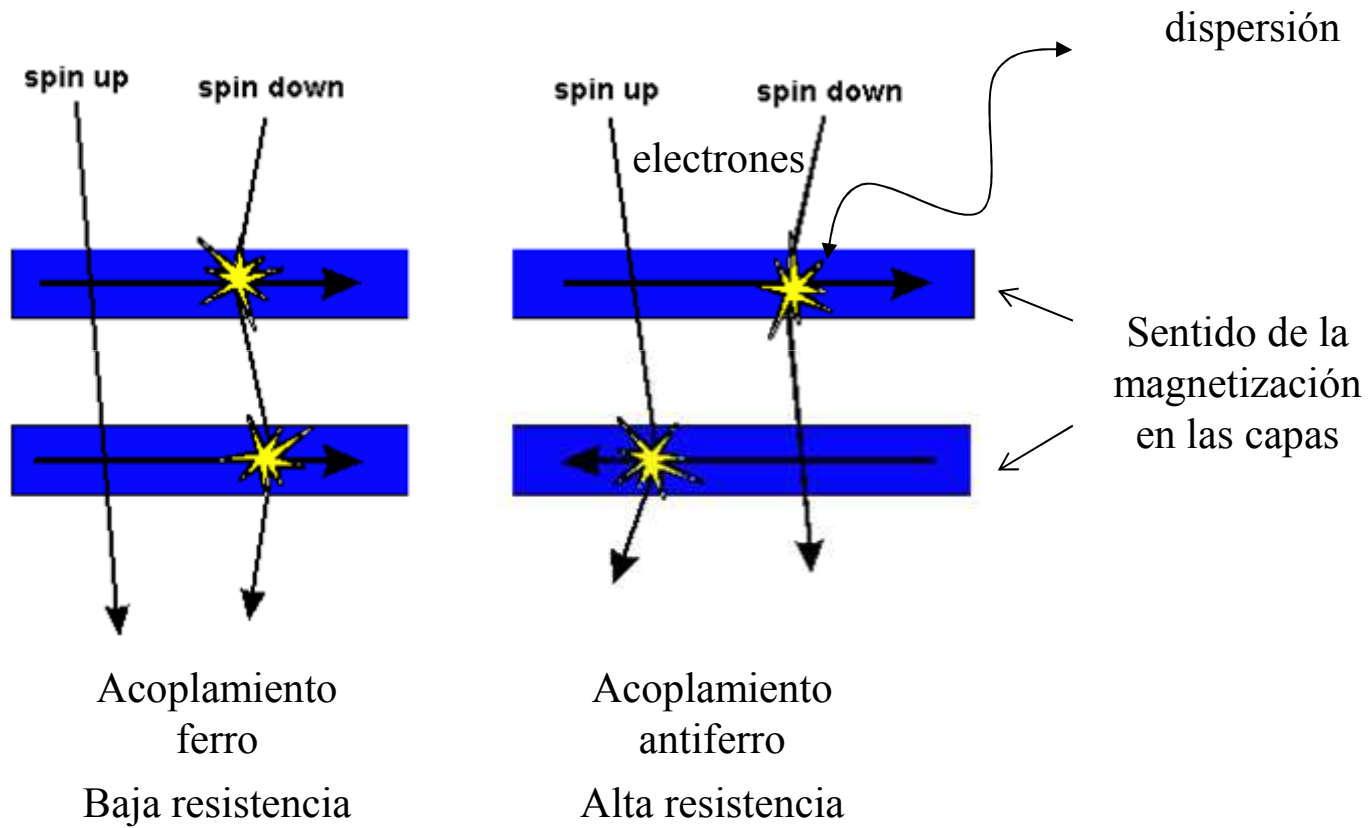
Giant Magnetoresistance



Resultados experimentales

Baibich et al. 1988





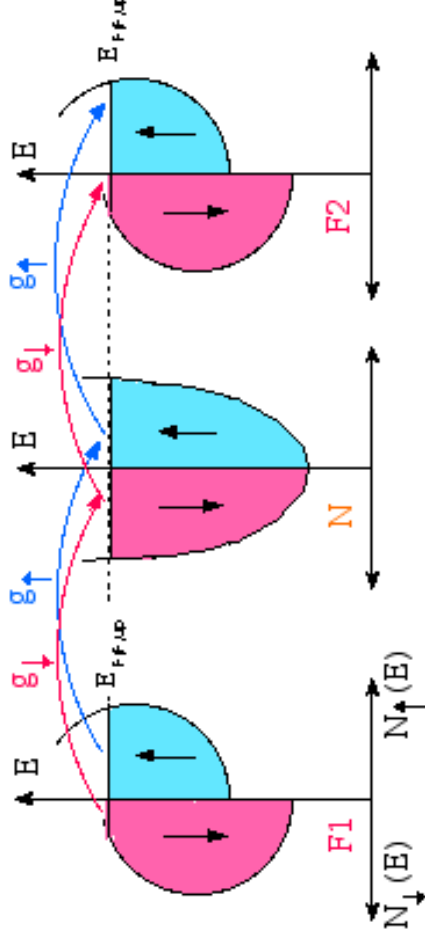
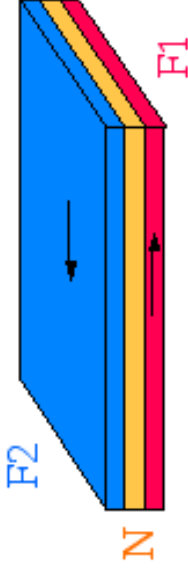
Magnetoresistance - spin valve

$$g \propto N(E_F)$$

F1 and F2 parallel:

$g_{\uparrow} > g_{\downarrow}$
 g_{\uparrow} dominates

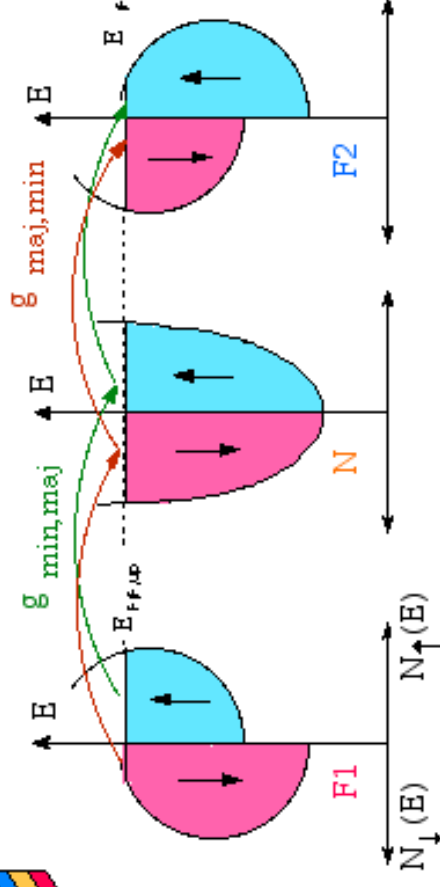
Low R state



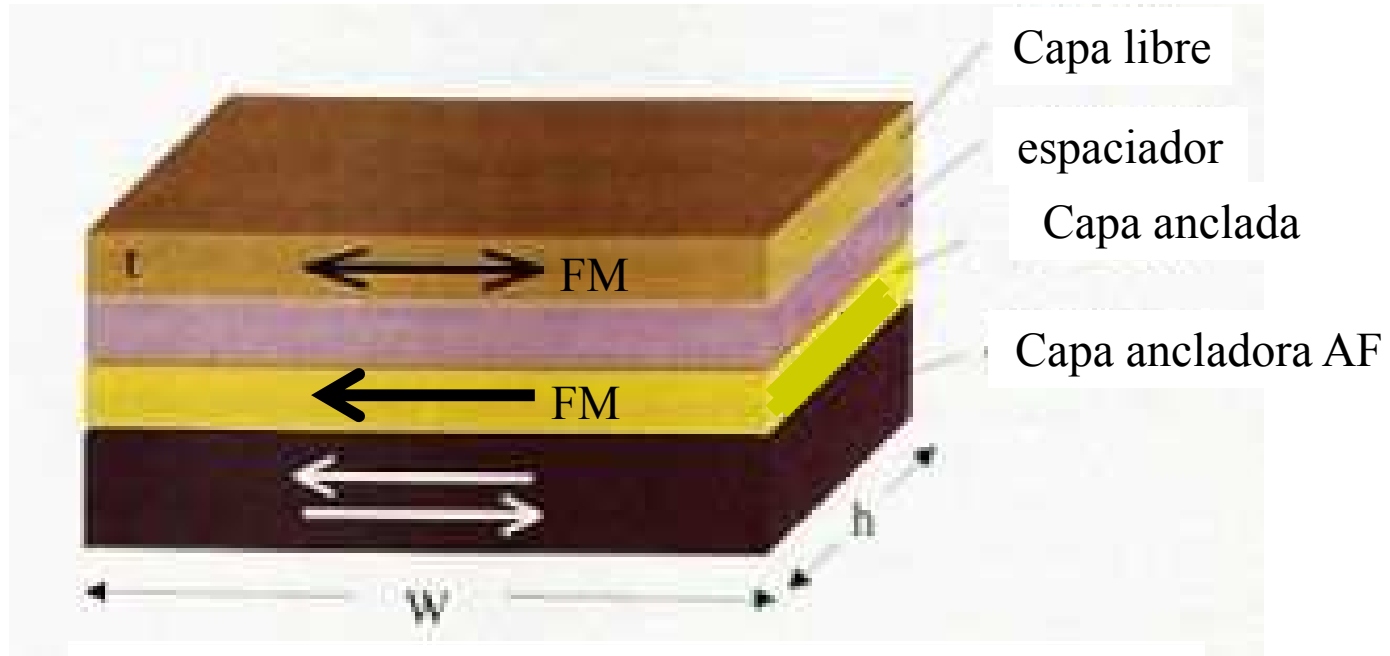
F1 and F2 antiparallel:

$g_{\min, \text{maj}} = g_{\text{maj}, \text{min}} < g_{\uparrow}$

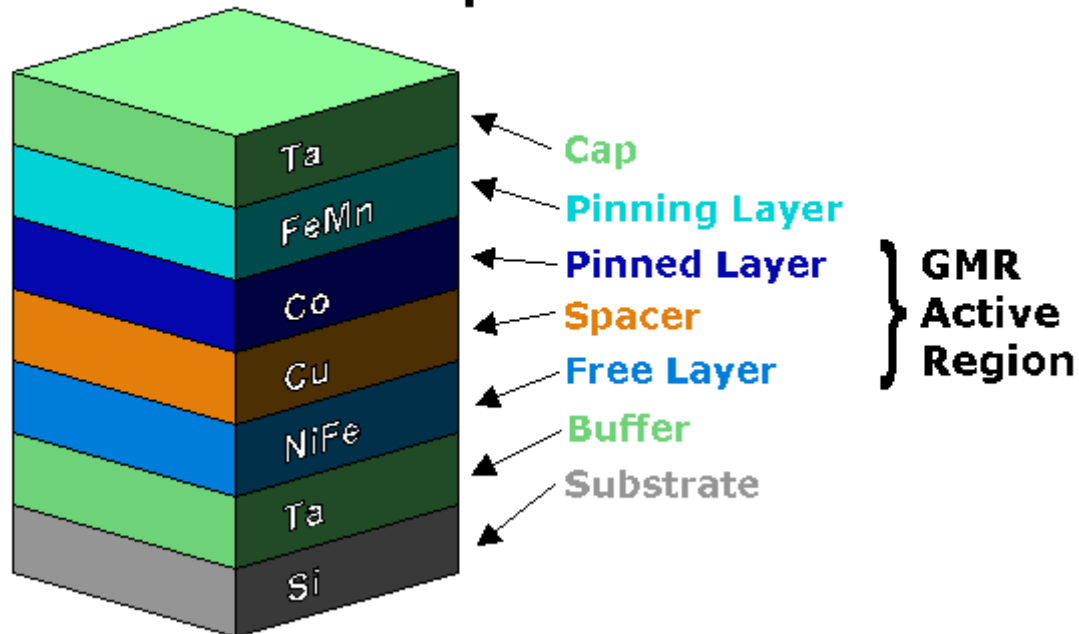
High R state



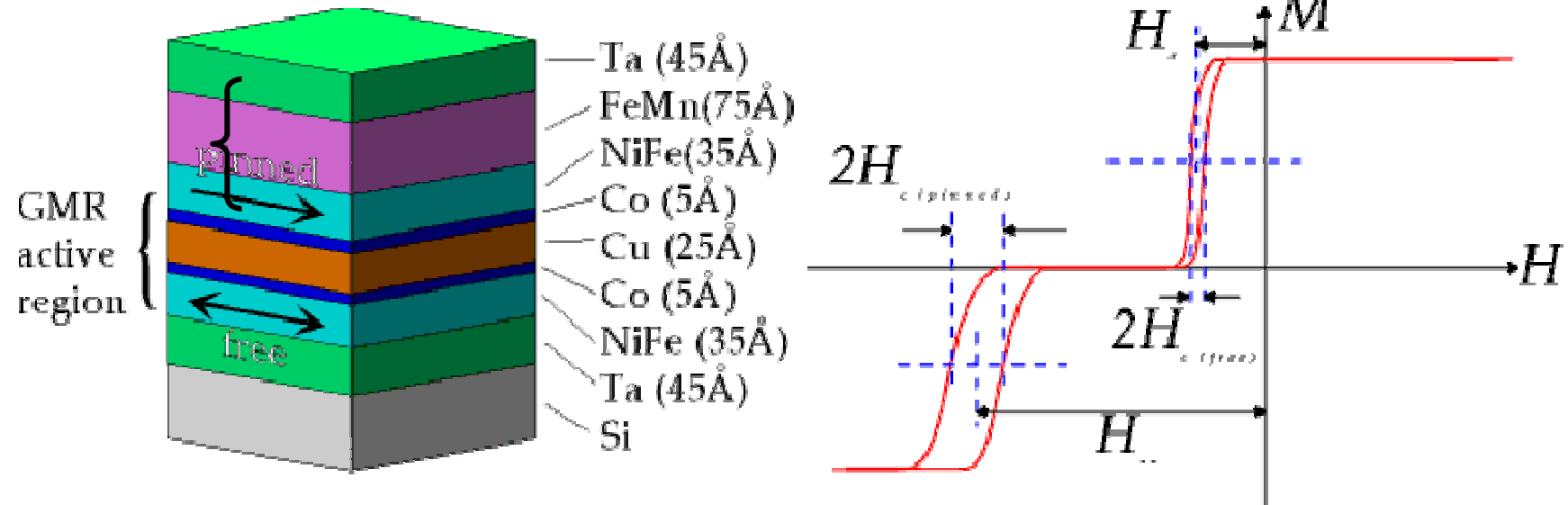
Grunberg PRB (89), Fe/Cr spin valve MR=1.5%
 Baibich et al., PRL (88), Fe/Cr multilayer

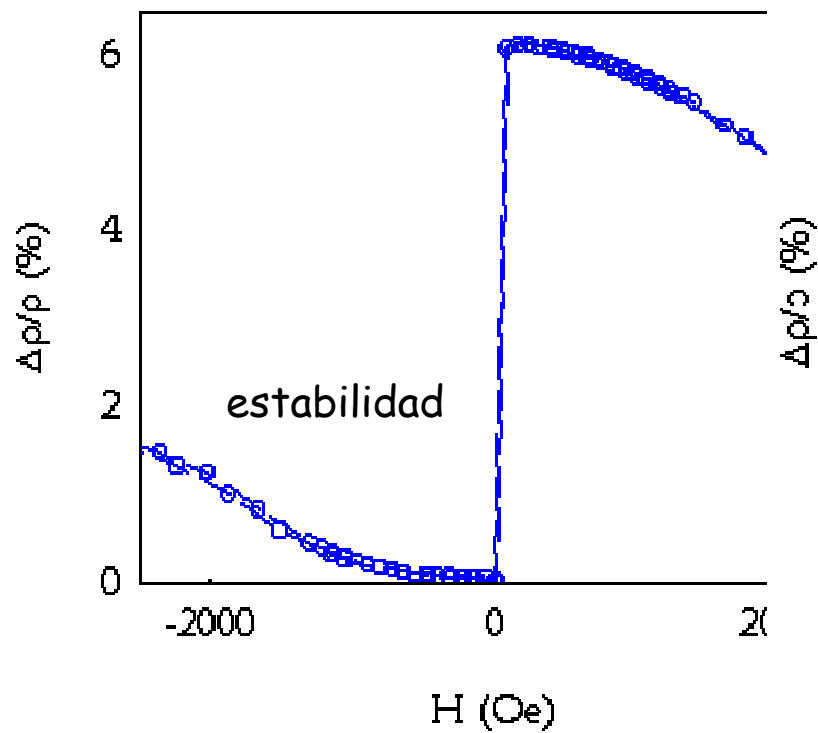


Spin Valve Structure

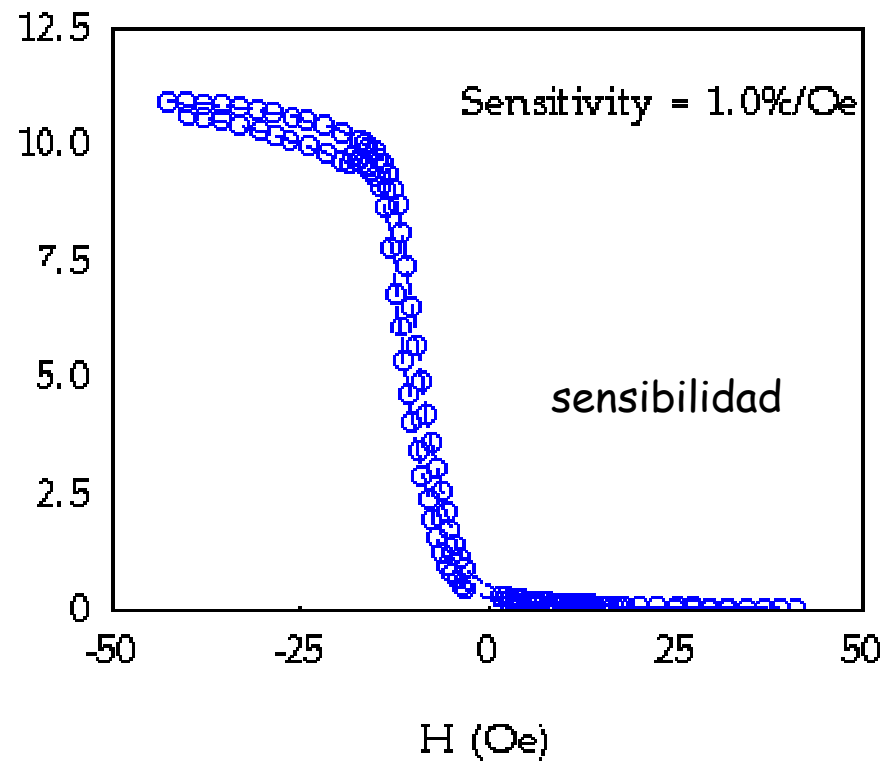


Válvula de spin





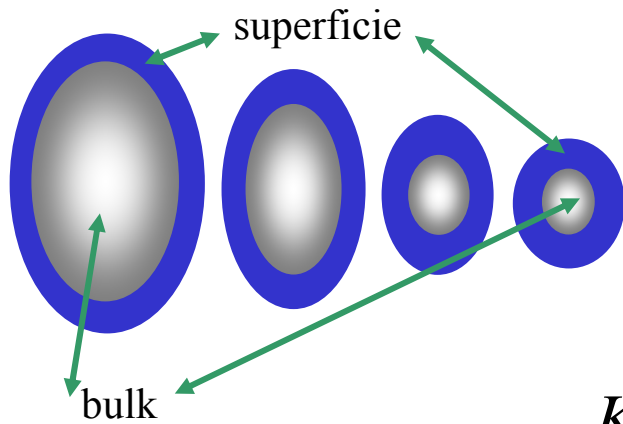
Symmetric Spin-valve minor loop



[animación](#)

Anisotropía en nanopartículas magnéticas y fluctuaciones térmicas

anisotropía de superficie en nanopartículas



$K_S = 10^{-4}-10^{-3} \text{ J/m}^2$,
energía de anisotropía
por unidad de área
superficial

$$K_{ef} = K_B + K_{V_S}^{ef}$$

$$K_{V_S}^{ef} \approx \frac{SK_S}{V} \approx \frac{4\pi r^2}{\frac{4}{3}\pi r^3} K_S = \frac{3}{r} K_S = \frac{6}{d} K_S$$

Partícula esférica

superficies/interfaces:

- discontinuidad composicional y configuracional
- mayor efecto anisotrópico

$$K_{ef} = K_B + \frac{6K_S}{d}$$

$$K_{ef} = K_B + \gamma \frac{K_S}{d}$$

Bødker et. Al (1994)

Anisotropía de superficie - ejemplo

$$K_B(\text{Co}_{fcc}) \approx 1 \times 10^5 \text{ J} / \text{m}^3$$

$$K_S(\text{Co} / \text{Al}_2\text{O}_3) \approx 3.3 \times 10^{-4} \text{ J} / \text{m}^2$$

$$K_{ef} = K_B + \gamma \frac{K_s}{d}$$

$$K_{ef}(\text{Co} / \text{Al}_2\text{O}_3) \approx \left[1 \times 10^5 + 6 \frac{3.3 \times 10^{-4}}{11 \times 10^{-9}} \right] \text{ J} / \text{m}^3 \approx 2.8 \times 10^5 \text{ J} / \text{m}^3$$

Si $d \sim 3 \text{ nm} = 3 \times 10^{-9} \text{ m}$

$$\rightarrow K_{ef}(\text{Co} / \text{Al}_2\text{O}_3) \approx 10^6 \text{ J} / \text{m}^3$$

$$\tau = \tau_0 e^{\frac{K_{ef} V}{kT}}$$

Mayores tiempos de relajación

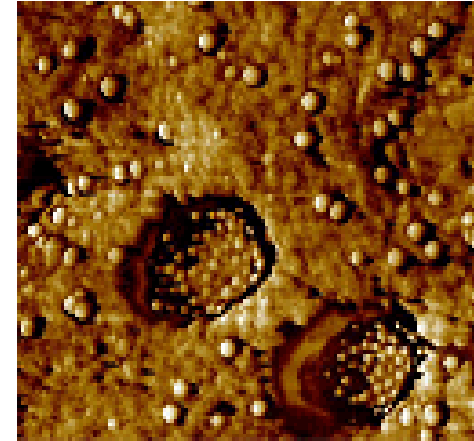
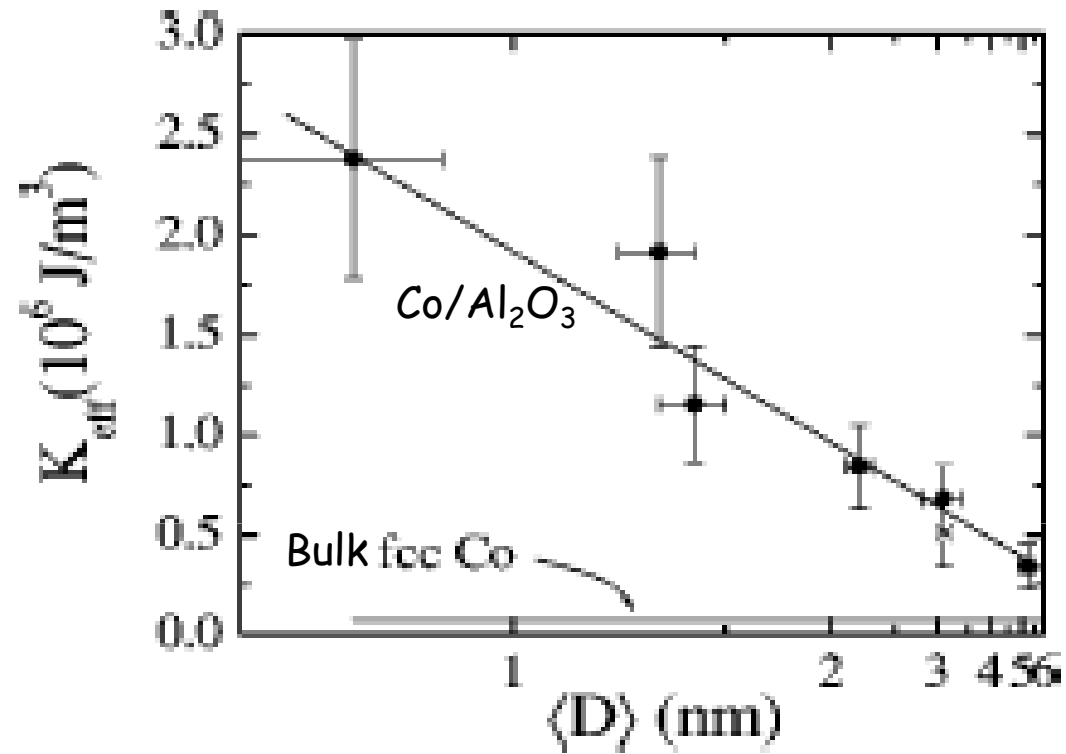


imagen MFA de nanopartículas de Co fcc en una matriz de alúmina. Las partículas son de aprox 11 nm (diámetro).



F. Luis, J.M. Torres, L.M. Gracia, J. Bartolomé, J. Stankiewicz, F. Petroff, F. Fettar, J. L. Maurice and A. Vaurés. Phys. Rev B, **65** (2002) 094409

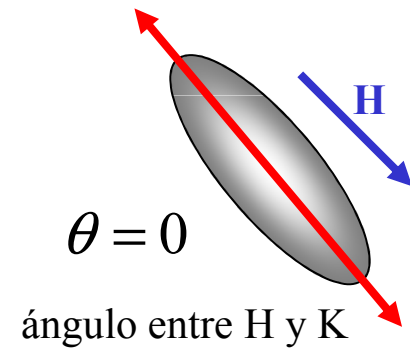
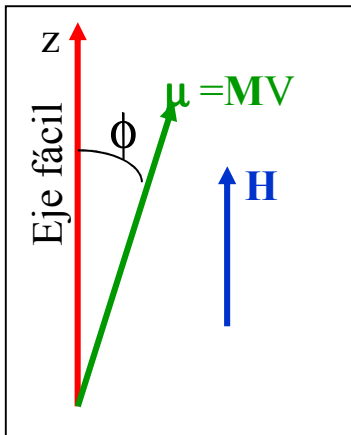
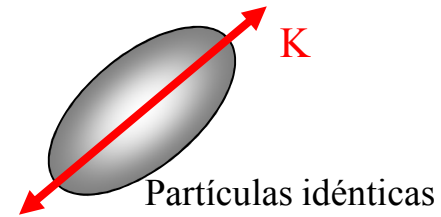
Modelo de Stoner - Wohlfarth

monodominio

Anisotropía uniaxial

no interactuantes

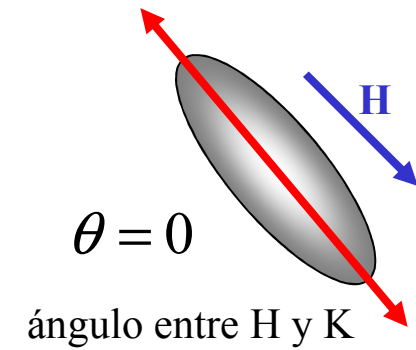
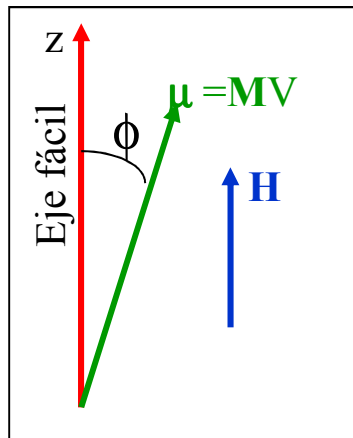
Campo paralelo al eje fácil



$$E_K = e_K V = KV \sin^2 \phi$$

$$E_H = -\vec{\mu} \cdot \vec{B} = -\mu_0 \vec{\mu} \cdot \vec{H} = -\mu_0 V M_z H = -\mu_0 V M_S H \cos \phi$$

$$E = E_K + E_H = KV \sin^2 \phi - \mu_0 V M_S H \cos \phi$$



$$E = E_K + E_H = KV \sin^2 \phi - \mu_0 VM_S H \cos \phi$$

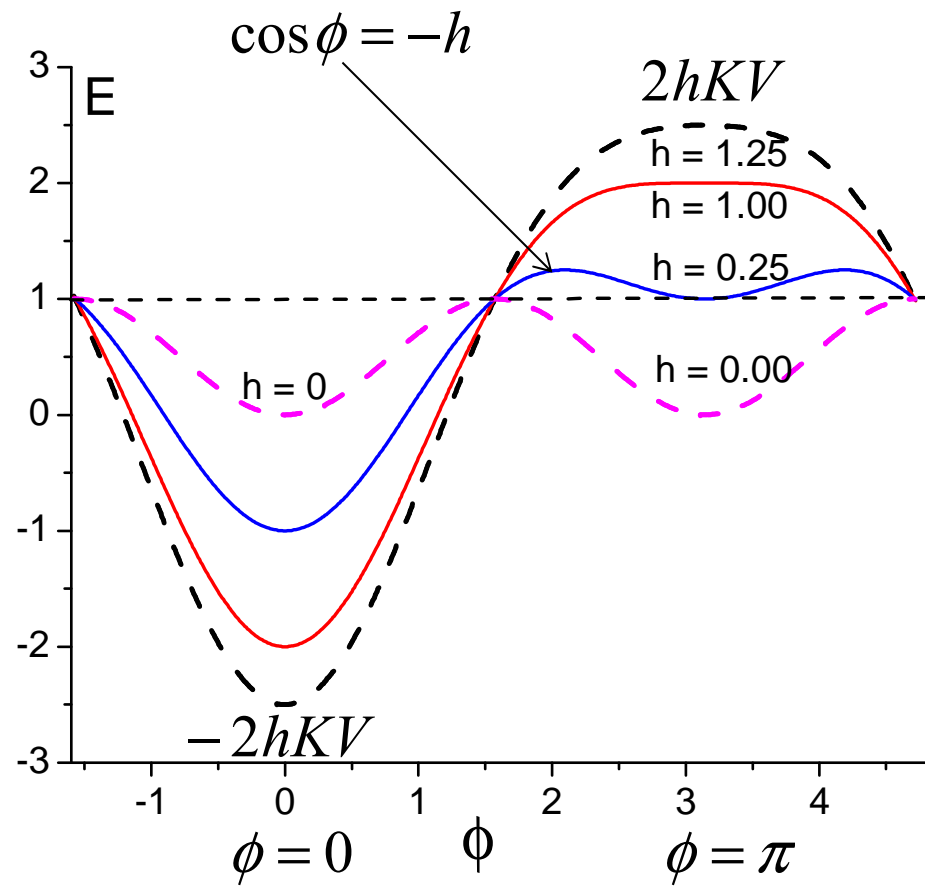
llamamos Campo de anisotropía

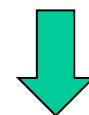
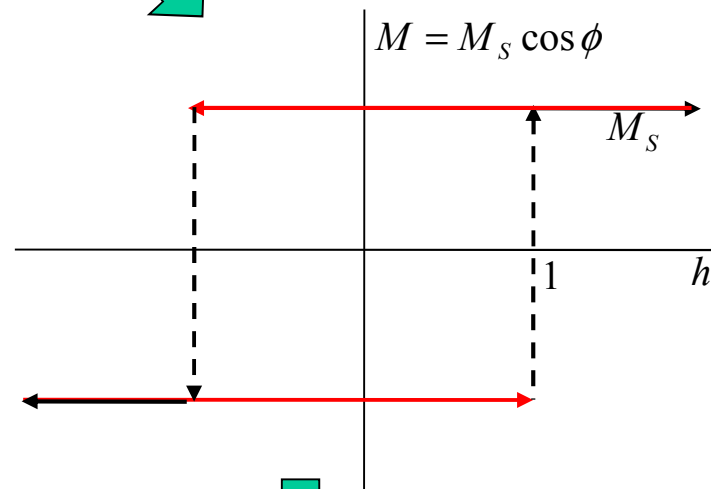
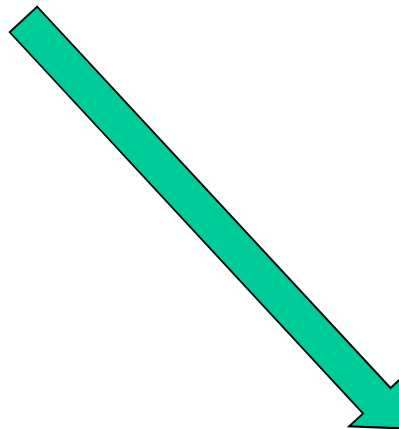
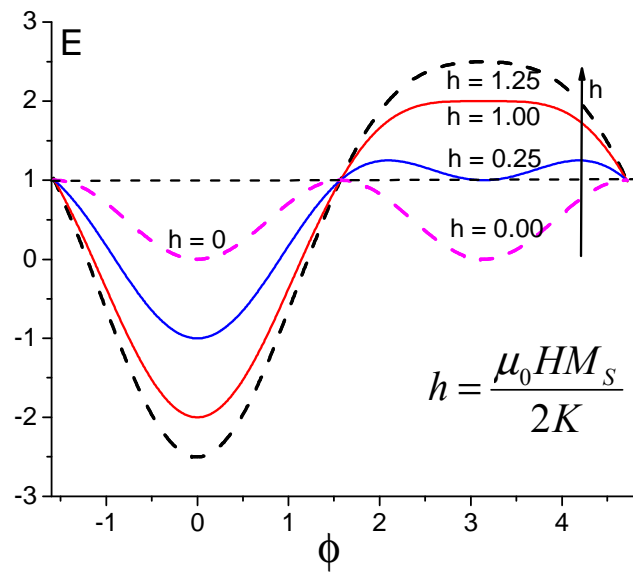
$$H_K = \frac{2K}{\mu_0 M_S} \quad h = \frac{H}{H_K} = \frac{\mu_0 M_S H}{2K}$$

$$E = KV(\sin^2 \phi - 2h \cos \phi)$$

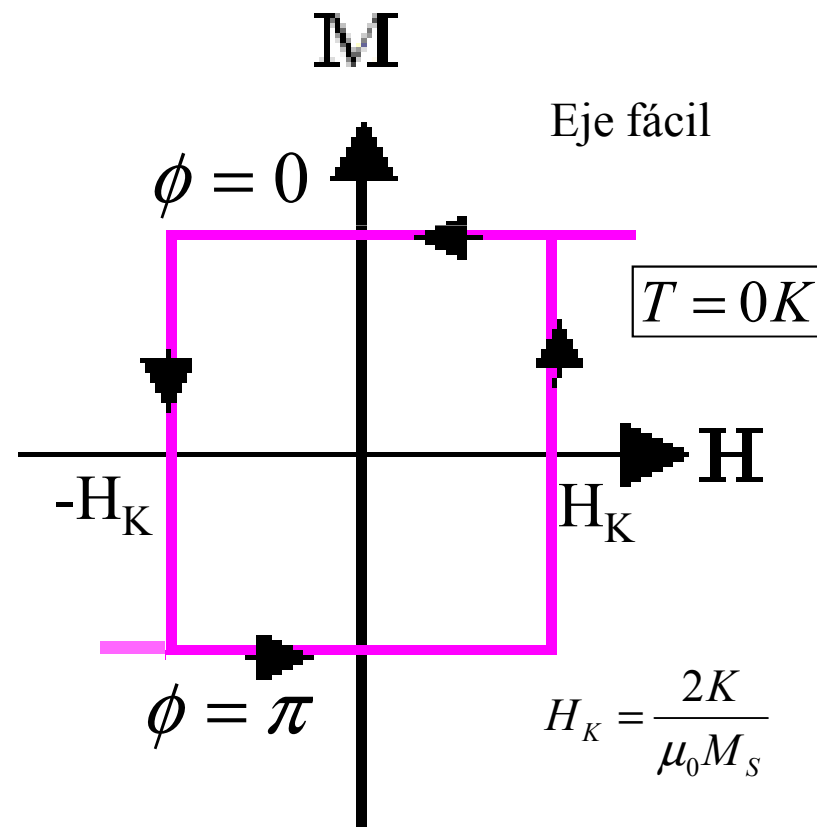
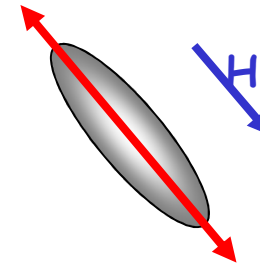
$$E = KV(\sin^2 \phi - 2h \cos \phi)$$

$$h = \frac{H}{H_K} \quad H_K = \frac{2K}{\mu_0 M_S}$$



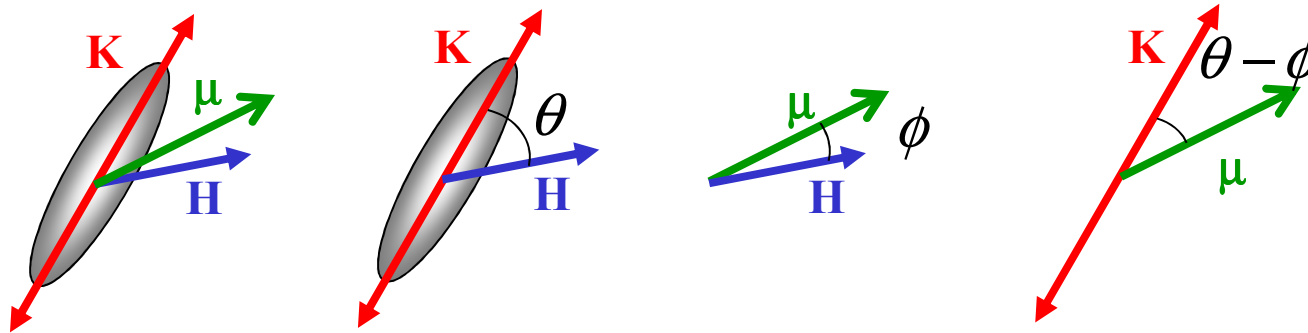


$$M_z = M_s \cos \theta$$

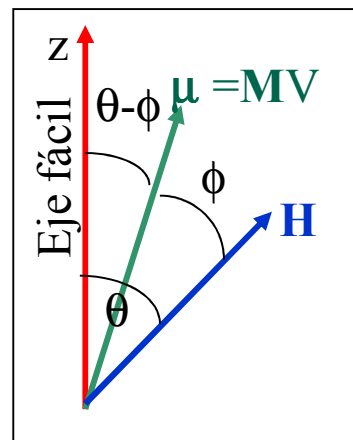


Campo en dirección arbitraria

$$\theta \neq 0$$

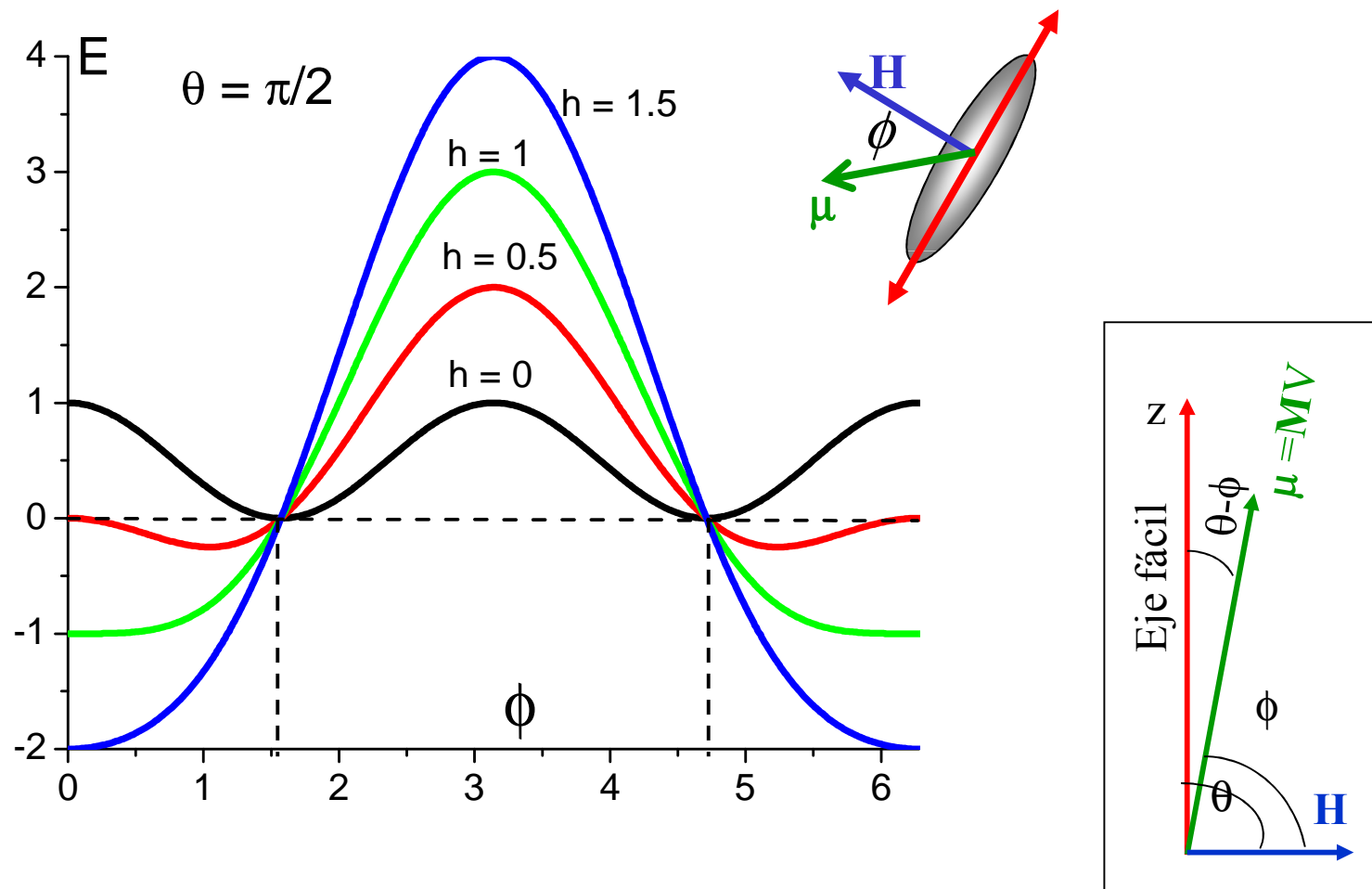


$$E = E_K + E_H = KV \left[\sin^2(\phi - \theta) - 2h \cos \phi \right]$$

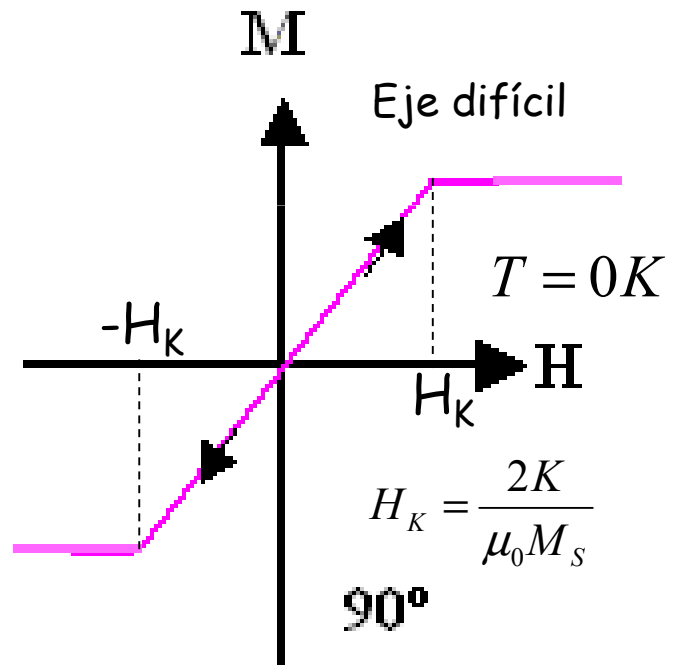
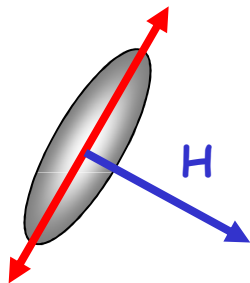


$$\theta = \pi / 2$$

$$E = E_K + E_H = KV \cos \phi (\cos(\phi) - 2h)$$

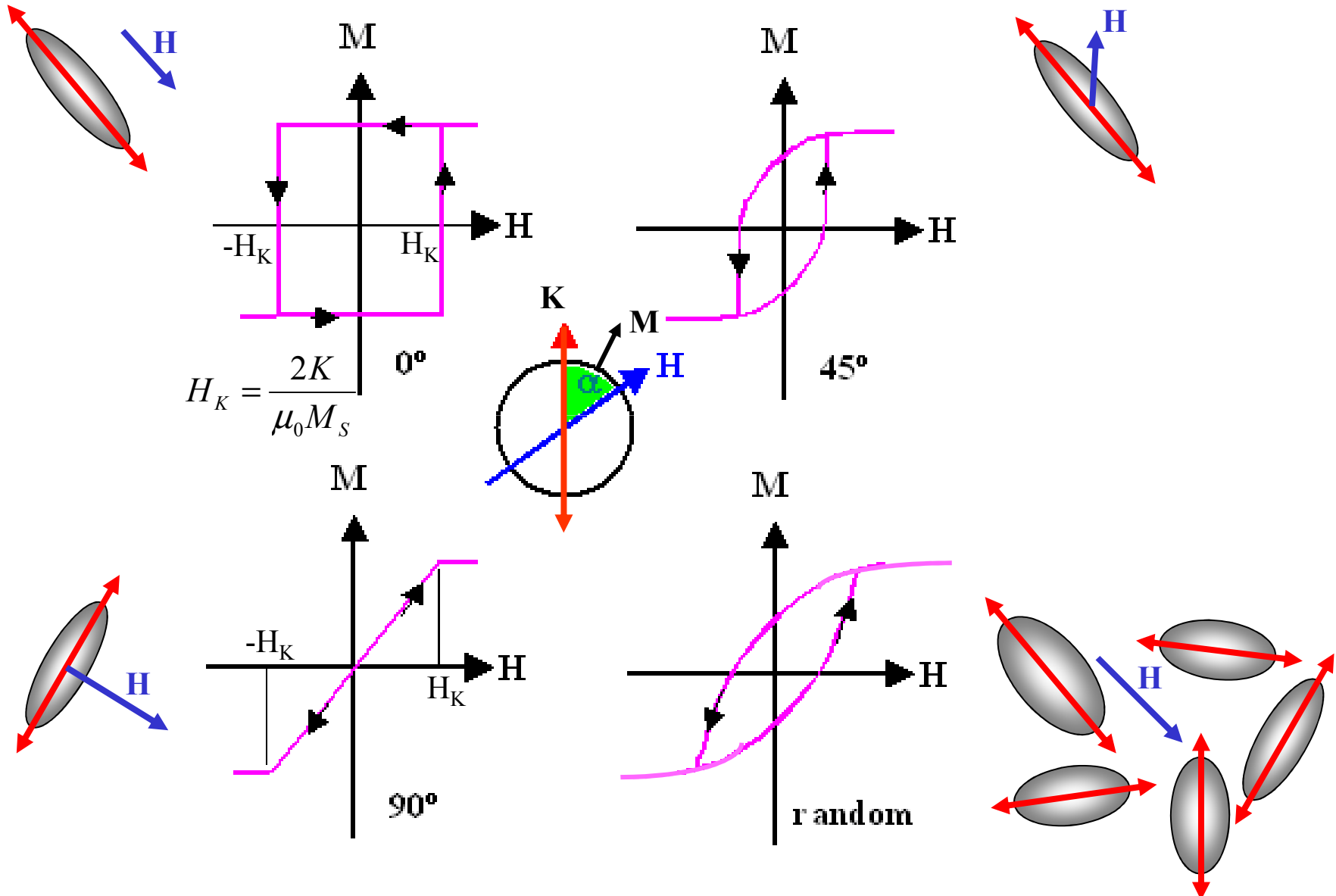


$$M_z = \frac{M_S}{H_K} H; \quad |h| < 1$$



Partículas ferromagnéticas pequeñas – modelo de Stoner - Wohlfarth

régimen bloqueado $\rightarrow T = 0$



E.C. Stoner y E.P. Wohlfarth, IEEE Transactions on Magnetics **27**, 3475-3518 (1991)

A MECHANISM OF MAGNETIC HYSTERESIS IN
HETEROGENEOUS ALLOYS

By E. C. STONER, F.R.S. AND E. P. WOHLFARTH
Physics Department, University of Leeds

(Received 24 July 1947)

VOL. 240. A. 826 (Price 10s.)

74

[Published 4 May 1948



The Royal Society is collaborating with JSTOR to digitize, preserve, and extend access to
Philosophical Transactions of the Royal Society of London. Series A, Mathematical and Physical Sciences.
www.jstor.org

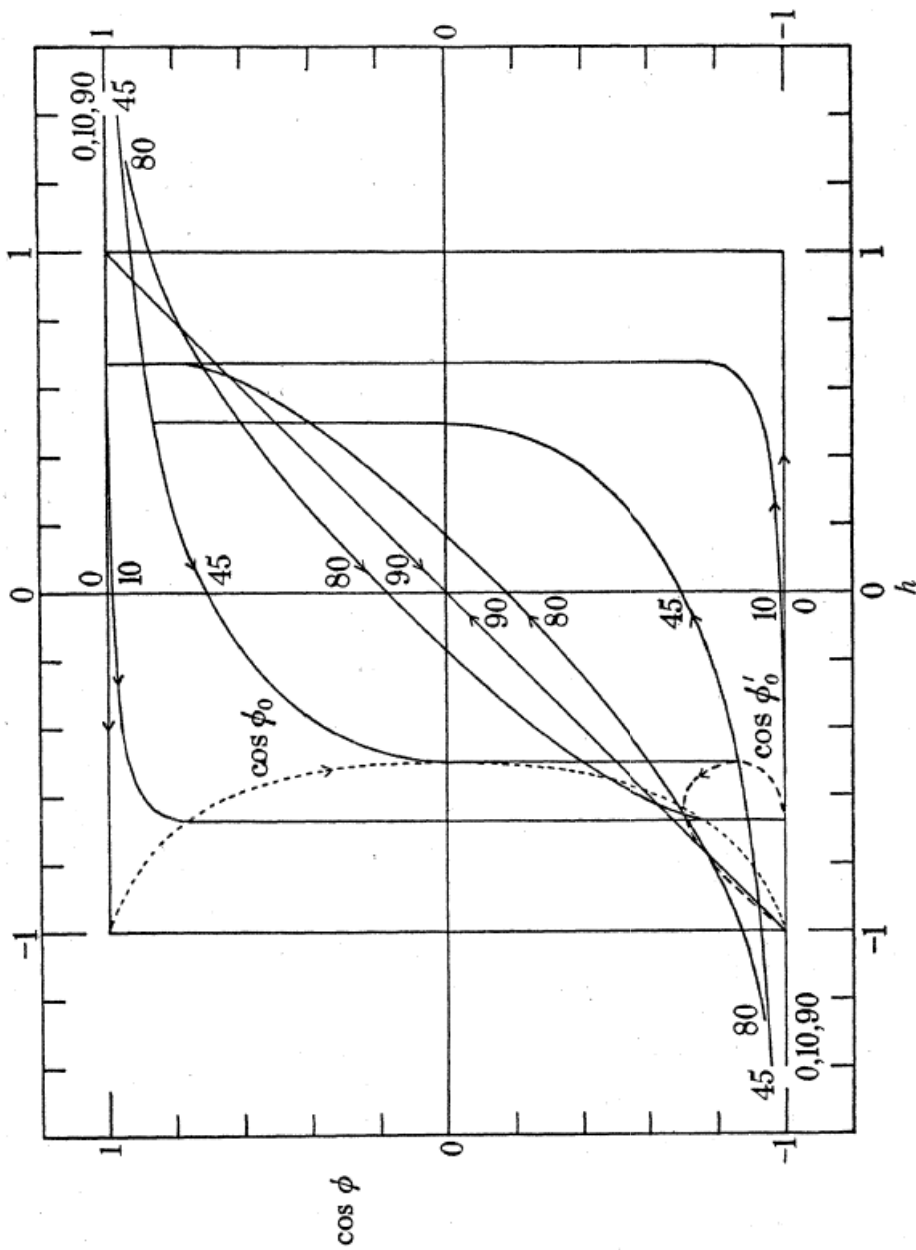


FIGURE 6. Magnetization curves for prolate spheroids. The resolved magnetization in the positive field direction is given by $I_0 \cos \phi$, where I_0 is the saturation magnetization. The field, H , is given by $H = (N_b - N_a) I_0 h$, where N_a and N_b are the demagnetization coefficients along the polar and equatorial axes. The angle, θ , between the polar axis and the direction of the field, is shown, in degrees, by the numbers on the curves. The dotted curves give $\cos \phi_0$ and $\cos \phi'_0$, where ϕ_0 and ϕ'_0 are the angles made with the positive field direction by the magnetization vector at the beginning and end of the discontinuous change at the critical value, h_0 , of the field.

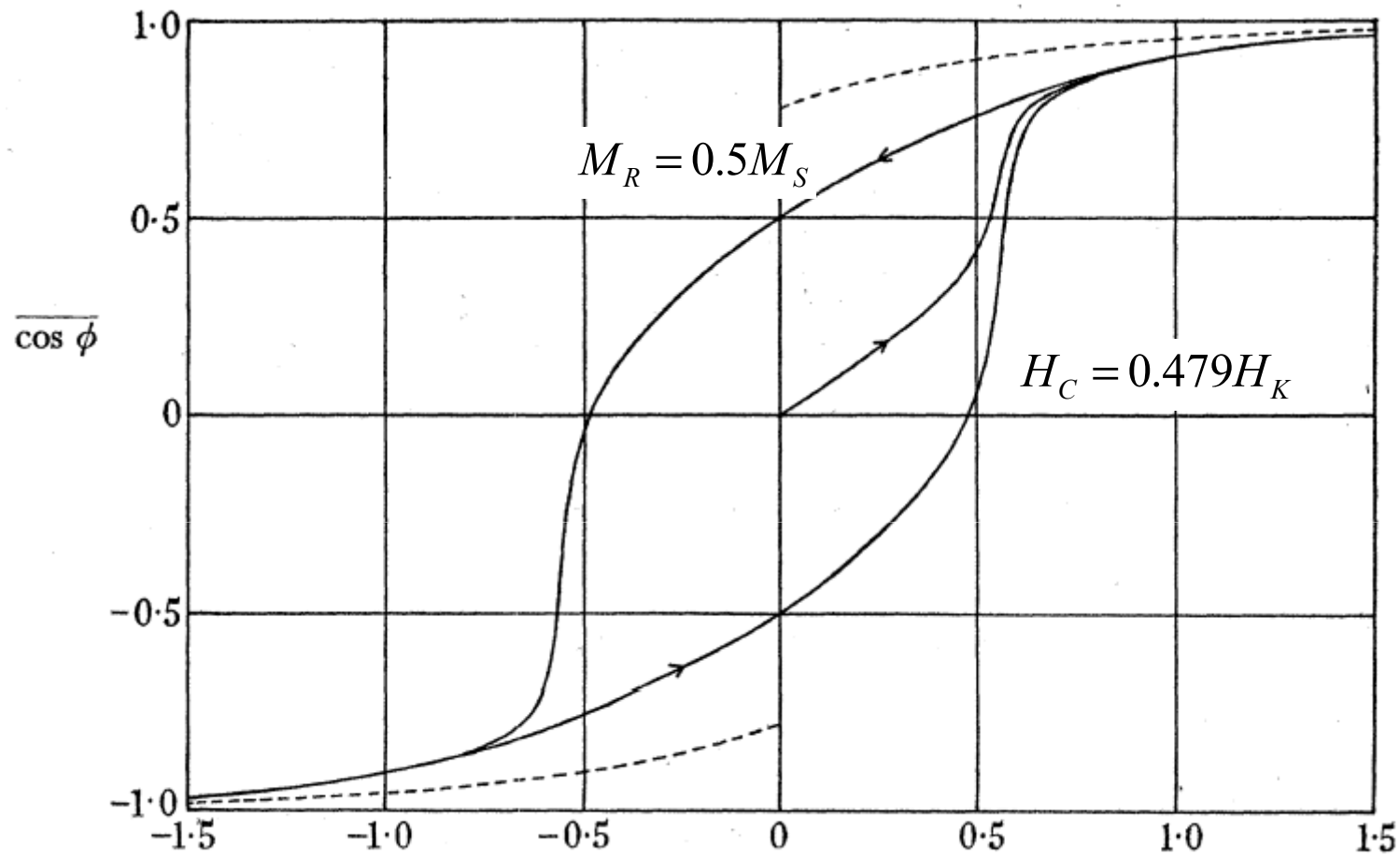


FIGURE 7. Magnetization curves for prolate (full curves) and oblate (broken curves) spheroids orientated at random. The curves refer to similar prolate (or oblate) spheroids orientated at random. $\overline{\cos \phi}$ is proportional to the mean resolved magnetization per spheroid in the positive field direction, or to the resultant magnetization in this direction of the assembly. $H = (|N_a - N_b|) I_0 h$.

Rapid-turnaround characterization methods for MRAM development

by D. W. Abraham,
P. L. Trouilloud,
and D. C. Worledge

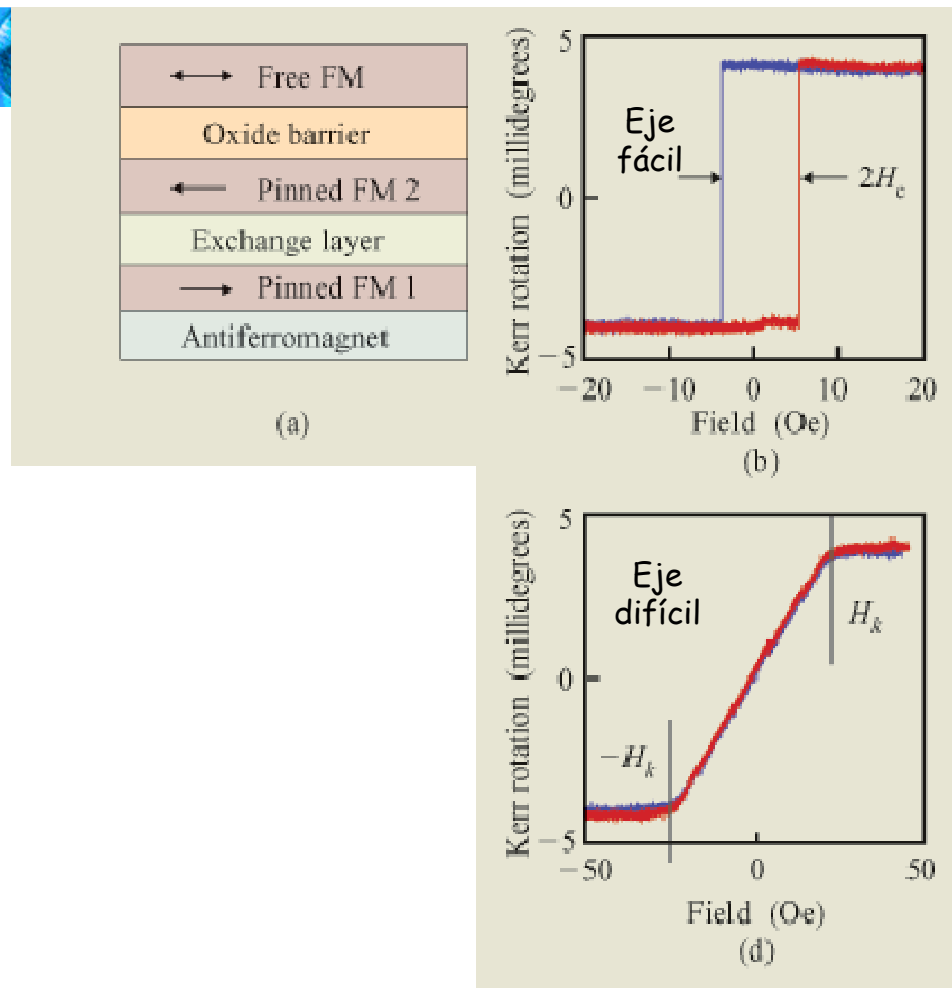
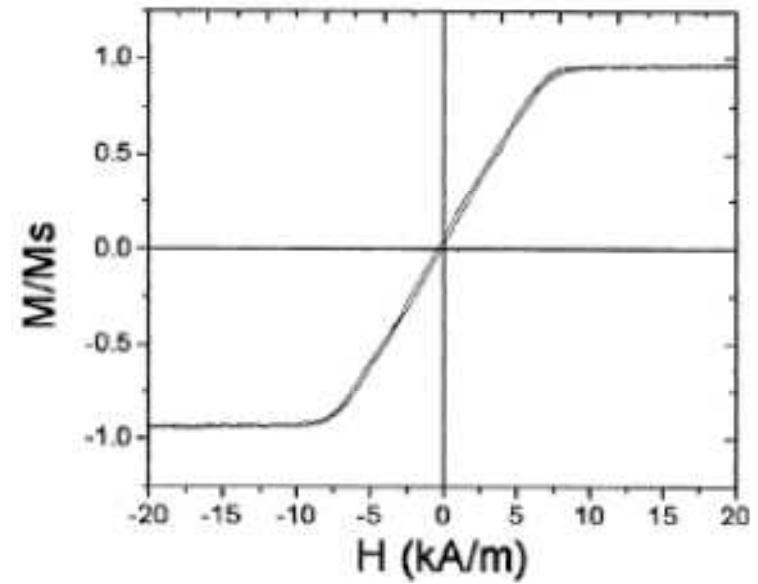
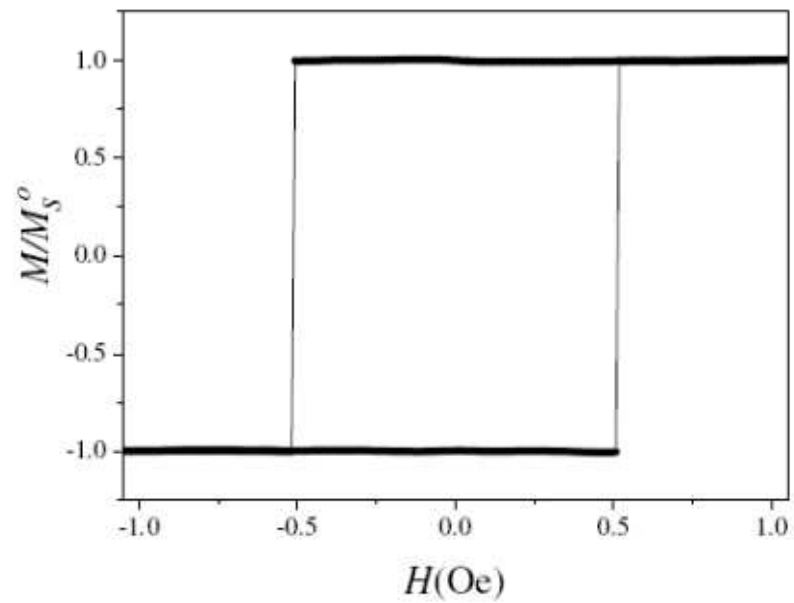
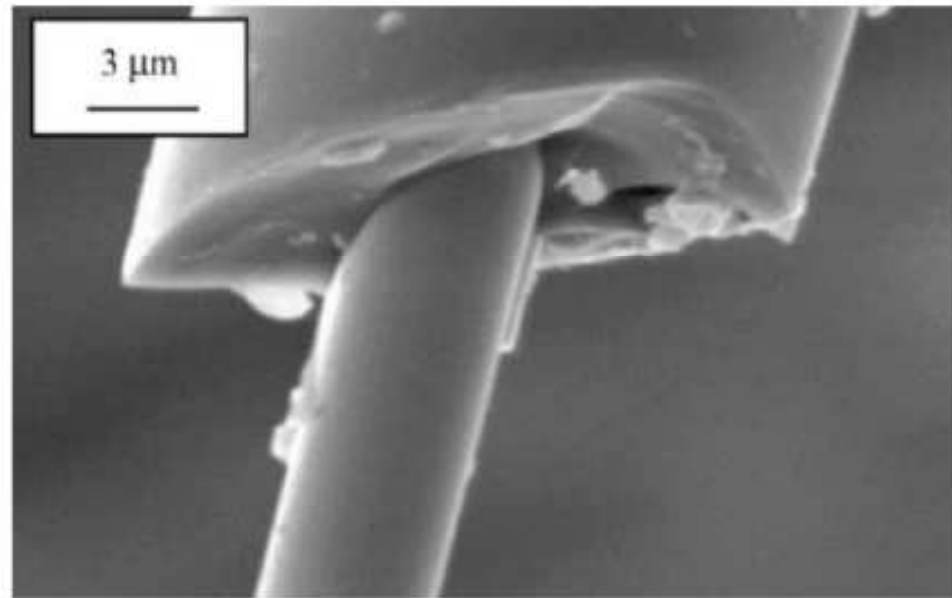


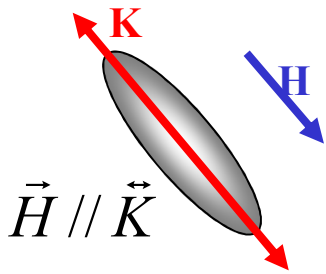
Figure 4

(a) Typical data for a Stoner–Wohlfarth stack. (a) Kerr easy-axis (EA) data taken at low field, showing the excellent low Néel offset and sharp hysteresis loop. (c) High-field EA Kerr magnetometry data showing the relative motion of the magnetization in the two ferromagnetic films, permitting direct measurement of pinning and interlayer coupling. (d) Hard-axis data revealing the film anisotropy.

Microhilos, P. Mendoza Zéliz et al, 2007



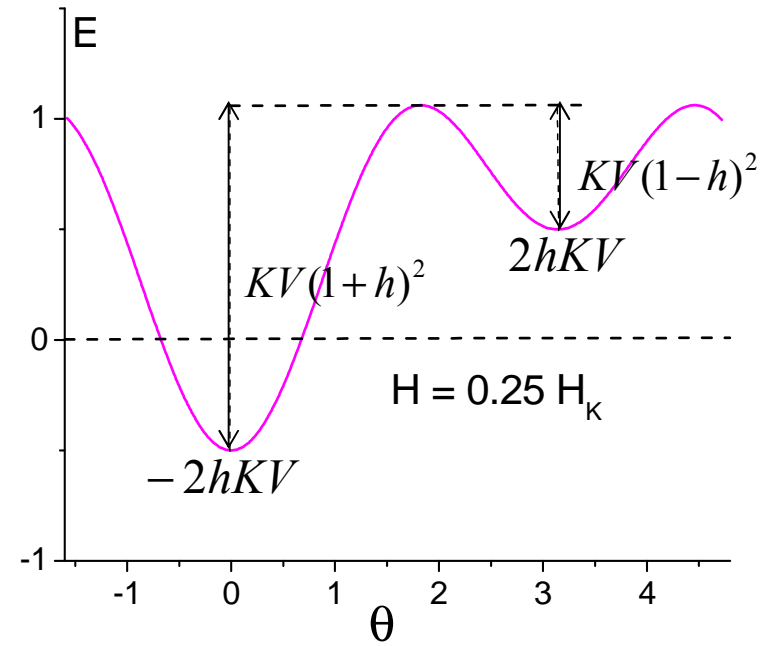
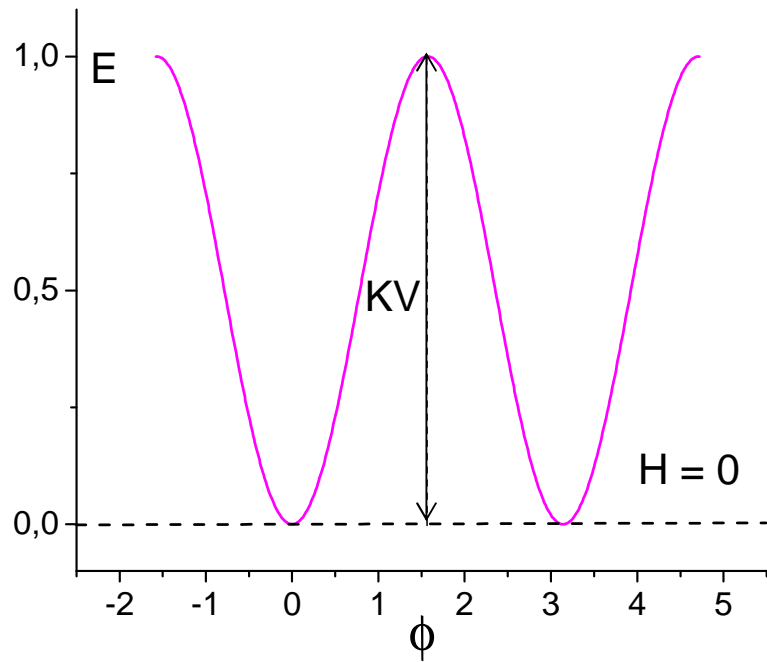
Efectos Dinámicos ($T \neq 0$)

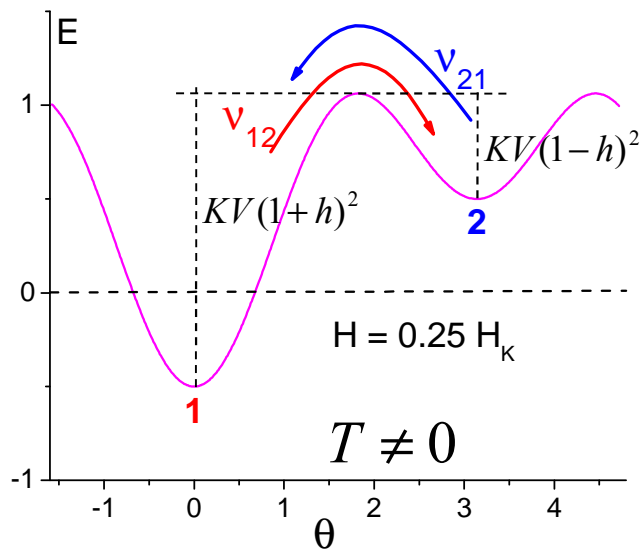


$$E = KV(\sin^2 \phi - 2h \cos \phi)$$

$$h = \frac{H}{H_K}$$

$$H_K = \frac{2K}{\mu_0 M_s}$$





$$\Delta E_{ij} = KV(1+h)^2$$

$$v_{ij} = c_0 e^{-\frac{\Delta E_{ij}}{kT}}$$

Frecuencia de saltos

$$\tau_{ij} = c_0^{-1} e^{\frac{\Delta E_{ij}}{kT}}$$

Tiempo de relajación

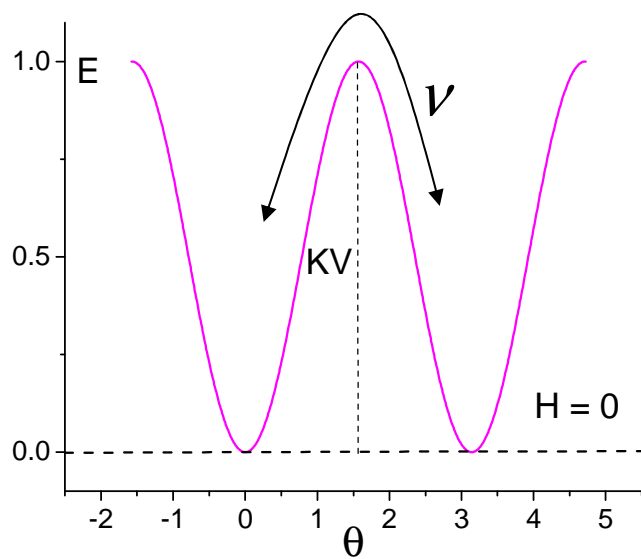
$$\xrightarrow{T=0} v_{ij} = 0$$

$$\xrightarrow{T=\infty} v_{ij} = c_0$$

Frecuencia de intentos

$$\tau_{ij} = c_0^{-1} e^{\frac{\Delta E_{ij}}{kT}}$$

Tiempo de relajación



Para $H = 0$

$$V_{12} = V_{21} = V$$

$$V = V_0 e^{-\frac{KV}{kT}}$$

$$\tau = \tau_0 e^{\frac{KV}{kT}}$$

$$10^{-12} \text{ s} \leq \tau_0 \leq 10^{-9} \text{ s}$$



$$\tau = \tau_0 e^{\frac{KV}{kT}}$$

$$\tau_0 \approx cte$$

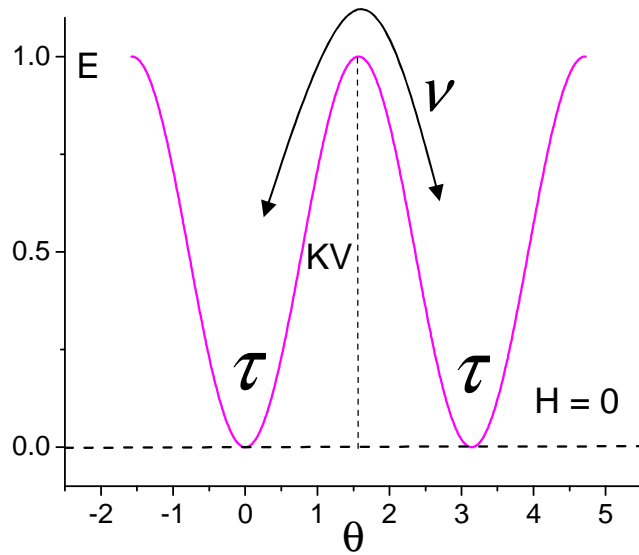
Ejemplo, usando $\tau_0 = 10^{-9}$ s

material	K(J/m ³)	R(nm)	τ (s)
Co	3.9x10 ⁵	4.4	6x10 ⁵
		3.6	0.1
Fe	4.7x10 ⁴	14.0	1.5x10 ⁵
		11.5	0.07

Comportamiento superparamagnético

Tiempo Experimental vs Tiempo de Relajación

$$\tau = \tau_0 e^{\frac{KV}{kT}}$$



Técnica	τ_{exp}
Mössbauer ^{57}Fe , $^{119\text{m}}\text{Sn}$	$\approx 10^{-8}\text{s}$
Susceptibilidad <i>ac</i>	$10^{-4} - 1\text{ s}$
Susceptibilidad <i>ac hf</i>	desde 10^{-6} s
Magnetización <i>dc</i>	$0.1 - 100\text{ s}$

$$\tau_{\text{exp}} < \tau \iff T < T_B$$

Sistema
bloqueado

Patrón estático

Histéresis,
desdoblamiento
Zeeman (EM)

$$\tau_{\text{exp}} > \tau \iff T > T_B$$

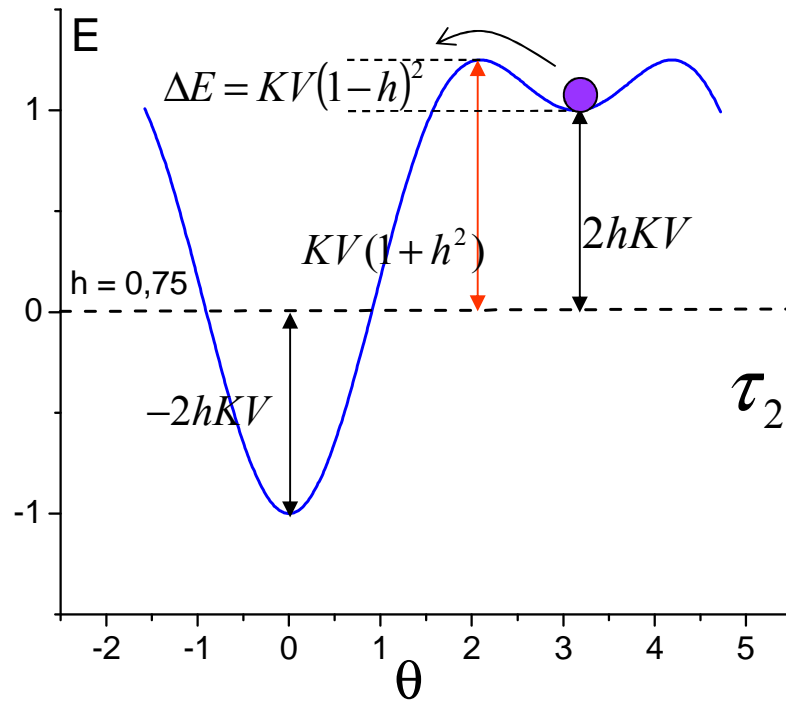
Sistema
desbloqueado

Patrón dinámico

Equilibrio,
patrón super-
paramagnético (EM)

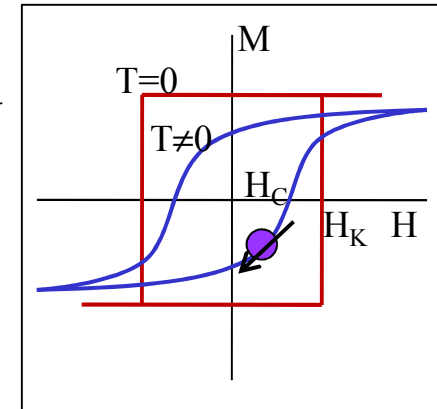
Dependencia del campo coercitivo con la temperatura

$$h = H / H_K = \frac{\mu_0 M_S H}{2K}$$



$$H_C = H_K = \frac{2K}{\mu_0 M_S}$$

$$\tau_{21} = \tau_0 e^{\frac{KV(1-h)^2}{kT}}$$



a $T \neq 0$ K la inversión de M se producirá cuando $\tau_{21} \approx \tau_{\text{exp}}$

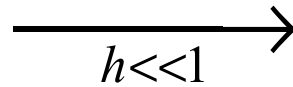
Dependencia del campo coercitivo con la temperatura

$$KV(1-h)^2 = kT \ln(\tau_{\text{exp}} / \tau_0)$$

$$\begin{array}{l} \tau_{\text{exp}} = 10^2 \text{ s} \quad \text{SQUID} \\ \tau_{\text{exp}} = 10^{-8} \text{ s} \quad \text{Möss} \end{array} \quad \ln(\tau_{\text{exp}} / \tau_0) \approx \begin{cases} 27.6 kT & \text{SQUID} \\ 4.6 kT & \text{Möss} \end{cases}$$

$$KV(1-h)^2 \approx 27.6 kT$$

$$KV(1-h)^2 \approx 4.6 kT$$



$$KV \approx 27.6 kT \quad \text{SQUID}$$

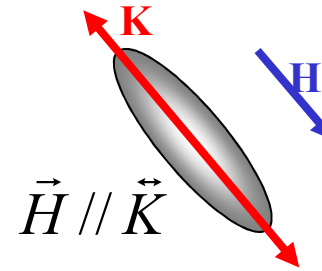
$$KV \approx 4.6 kT \quad \text{Möss}$$

Dependencia del campo coercitivo con la temperatura

$$KV(1-h)^2 \approx kT \ln(\tau_{\text{exp}} / \tau_0)$$

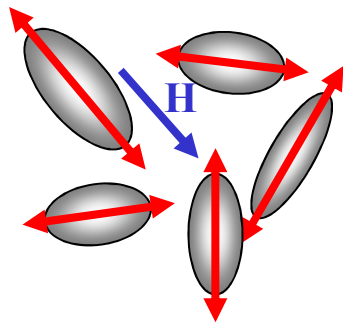
$$h \approx 1 - \sqrt{\frac{kT}{KV} \ln(\tau_{\text{exp}} / \tau_0)}$$

$$H_C(T) \approx H_K \left(1 - \sqrt{\frac{kT}{KV} \ln(\tau_{\text{exp}} / \tau_0)} \right)$$

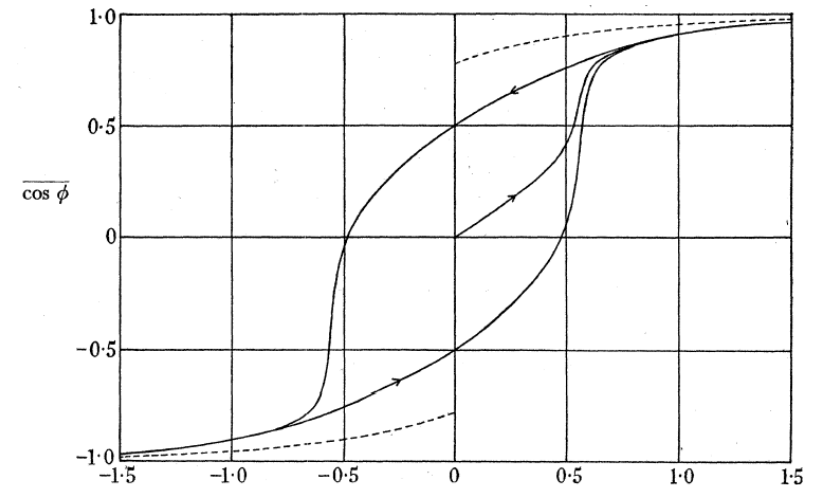


orientación aleatoria

$$H_C(T) \approx 0.48H_K \left(1 - \sqrt{\frac{kT}{KV} \ln(\tau_{\text{exp}} / \tau_0)} \right)$$



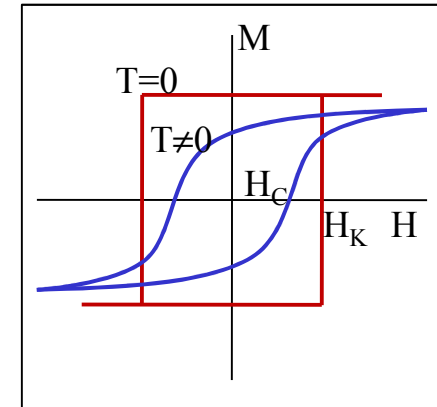
$$H_C(0) = 0.479H_K$$



Temperature Dependent Magnetic Properties of Barium-Ferrite Thin-Film Recording Media

Yingjian Chen, *Member, IEEE*, and Mark H. Kryder, *Fellow, IEEE*

IEEE TRANSACTIONS ON MAGNETICS, VOL. 34, NO. 3, MAY 1998



$$H_c(t') = H_k \left\{ 1 - \left[\frac{k_B T}{K_u V_{sw}} \ln \left(\frac{At'}{0.693} \right) \right]^n \right\}$$

the easy axis orientation. In a system with uniaxially aligned easy axes, n is 1/2 [29], and in a system with random easy axis orientations, n is 2/3 [30]. The fitting parameters V_{sw}

- [29] M. P. Sharrock and J. T. McKinney, *IEEE Trans. Magn.*, vol. MAG-17, p. 3020, 1981.
 [30] R. H. Victora, "Predicted time dependence of the switching field for magnetic materials," *Phys. Rev. Lett.*, vol. 63, pp. 457-460, 1989.

Uso extendido de la expresión

$$H_C = \alpha \frac{2K}{M_S} \left[1 - \left(\frac{T}{T_B} \right)^{1/2} \right]$$

Interacciones magnéticas en nanotubos ferromagnéticos de LaCaMnO y LaSrMnO,

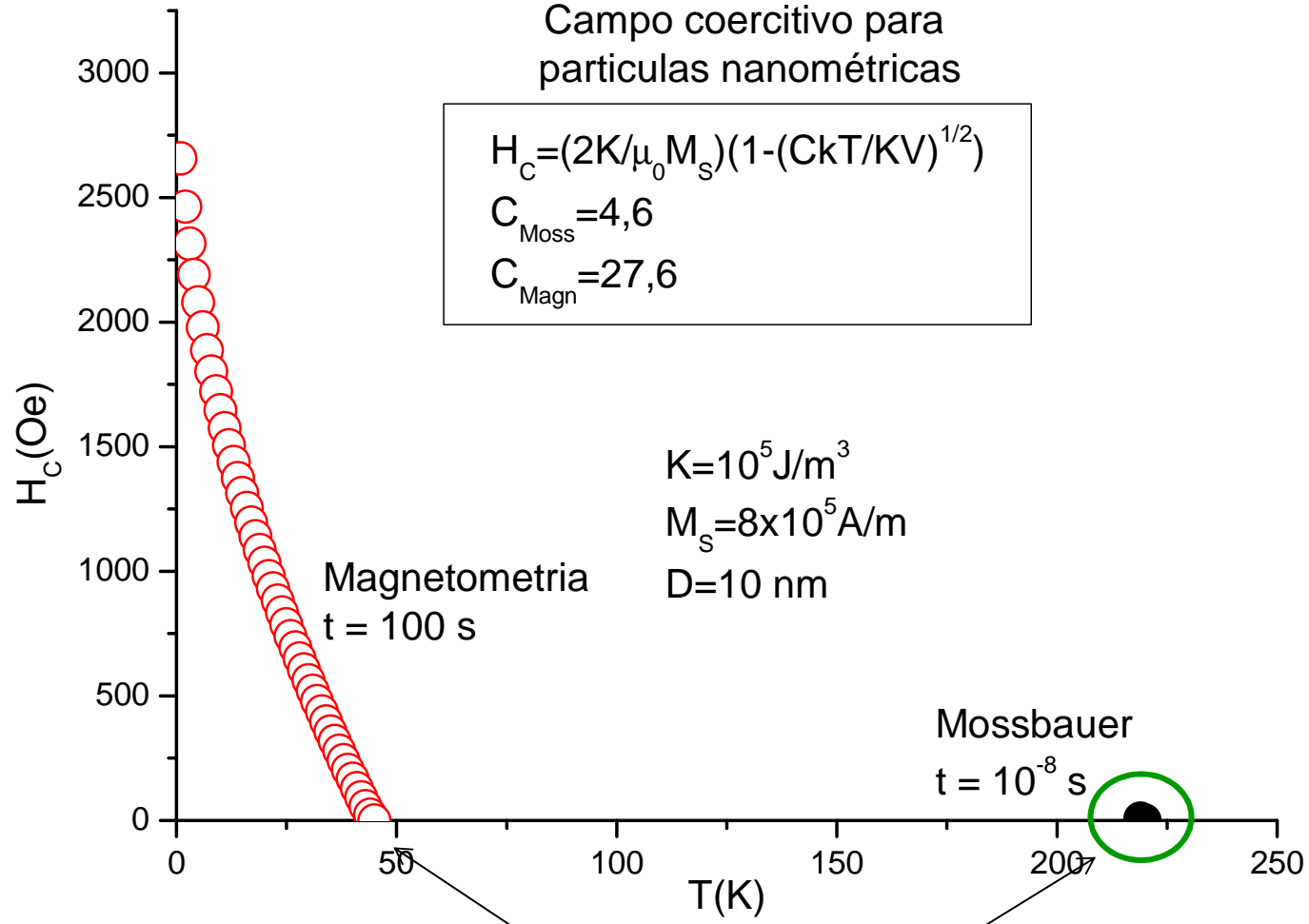
J. Curiale et al., AFA 2006

Marina Tortarola, Tesis, IB, 2008

Campo coercitivo para
partículas nanométricas

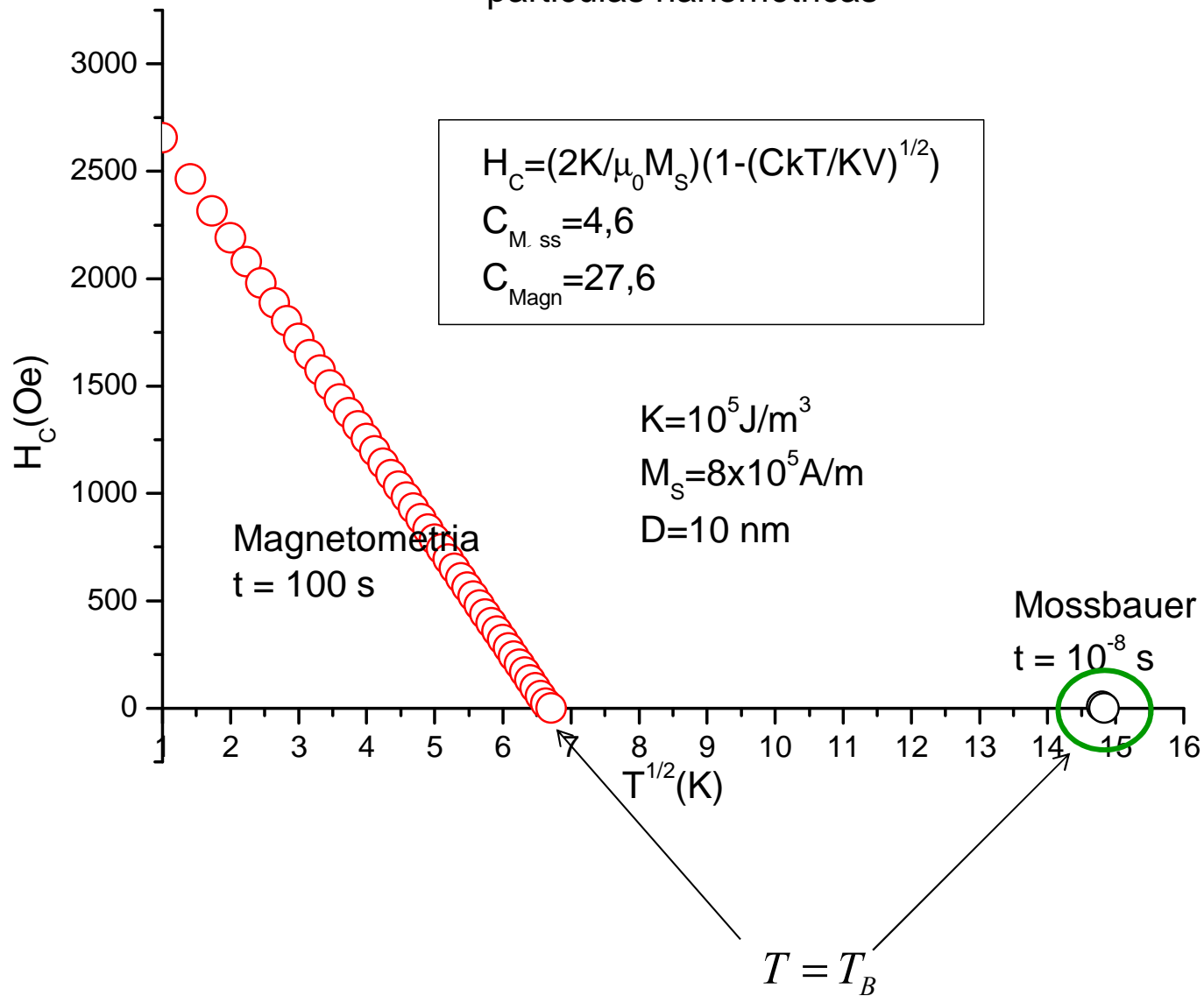
$$H_C = (2K/\mu_0 M_S) (1 - (CkT/KV)^{1/2})$$

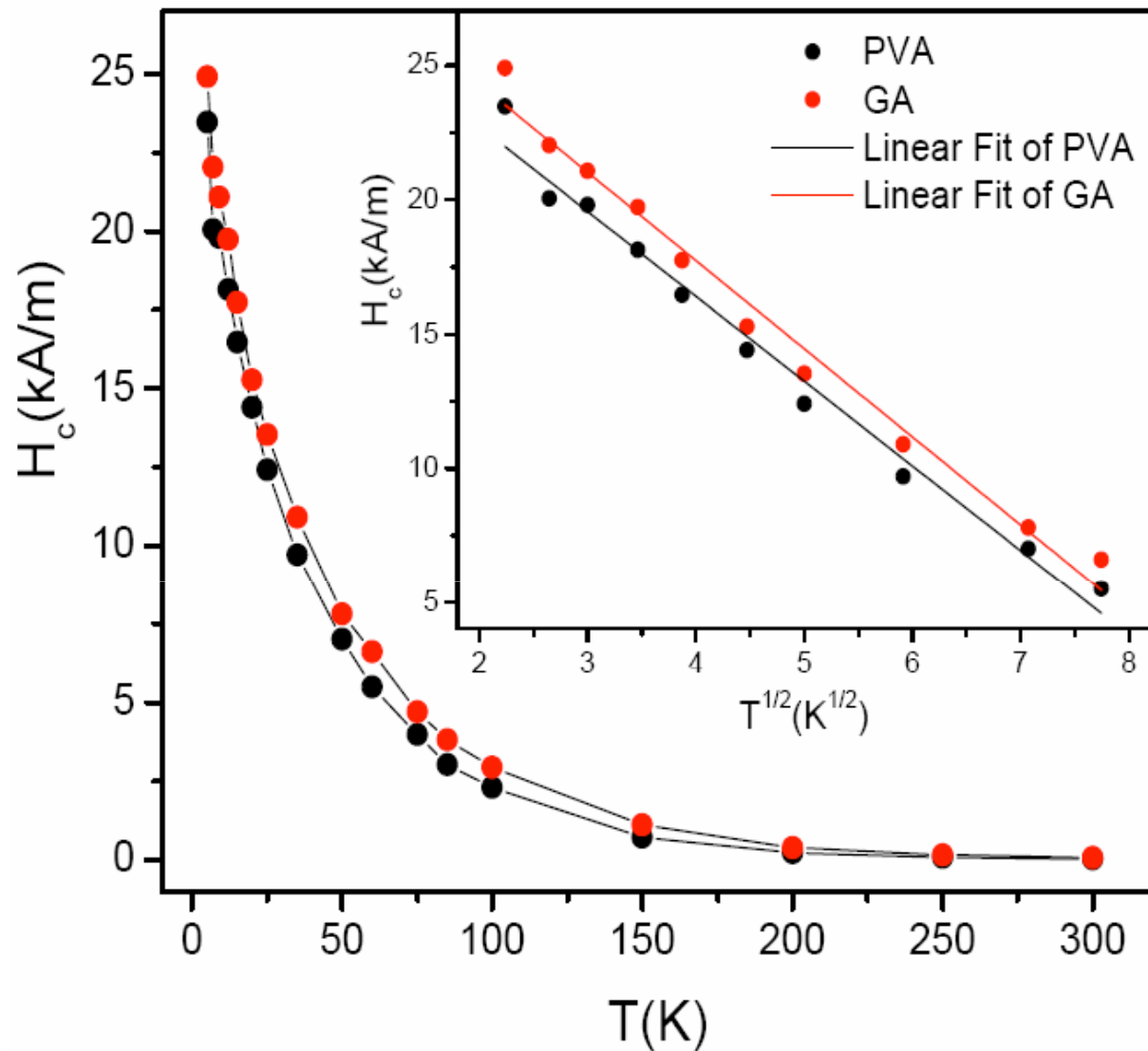
$C_{\text{Moss}} = 4,6$
 $C_{\text{Magn}} = 27,6$



$$T = T_B$$

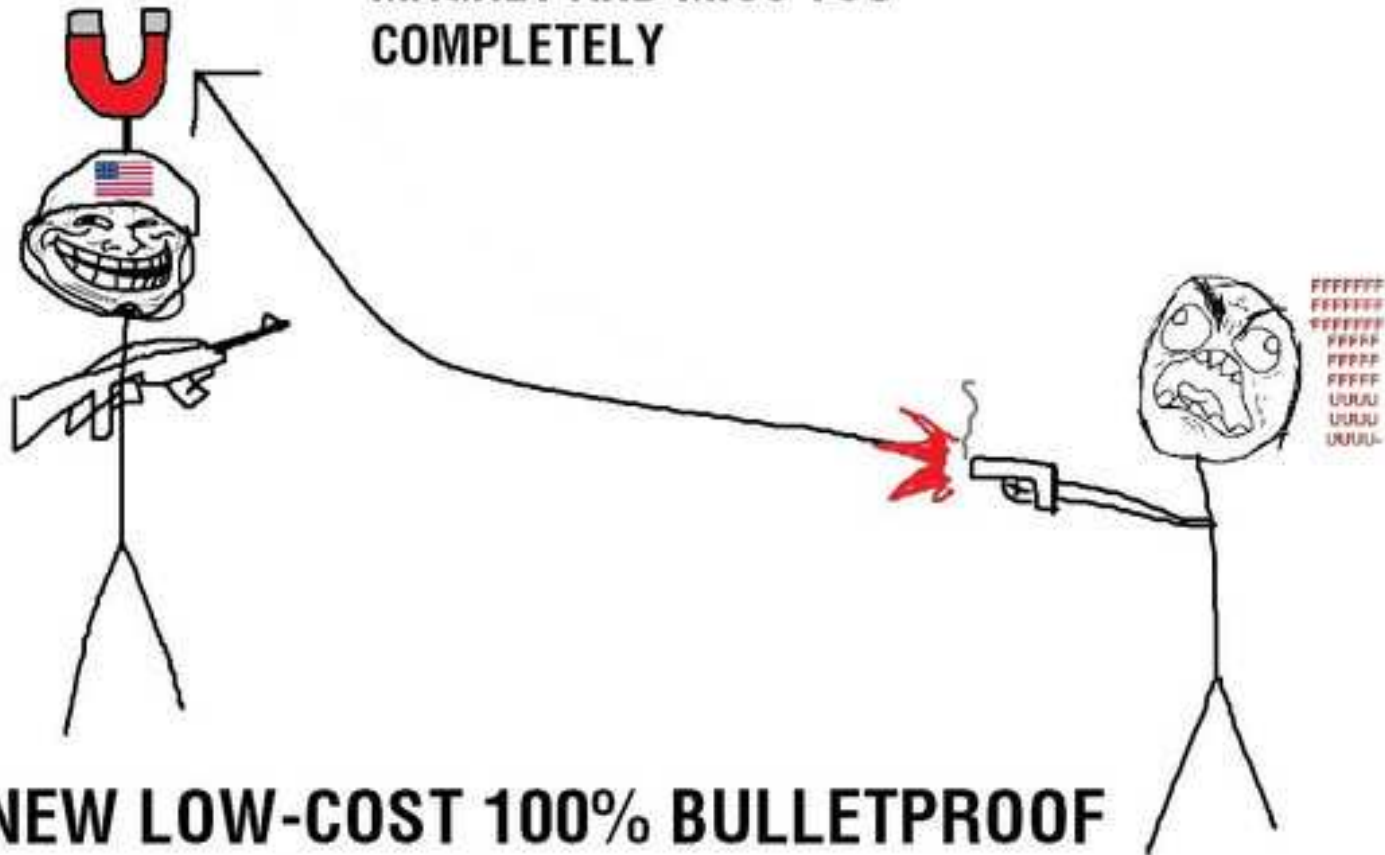
Campo coercitivo para partículas nanométricas





Ferrogel de NP de magnetita (8 nm) en hidrogel de PVA, Mendoza Zélis et al, enviado

**BULLETS GET ATTRACTED TO THE
MAGNET AND MISS YOU
COMPLETELY**



**NEW LOW-COST 100% BULLETPROOF
ARMOR/HELMET**

**HOW HAS THE ARMY NOT THOUGHT OF
THIS YET?**

Fin módulo